

# Počítačová chemie: molekulové modelování a simulace

Jiří Kolafa, Ústav fyzikální chemie

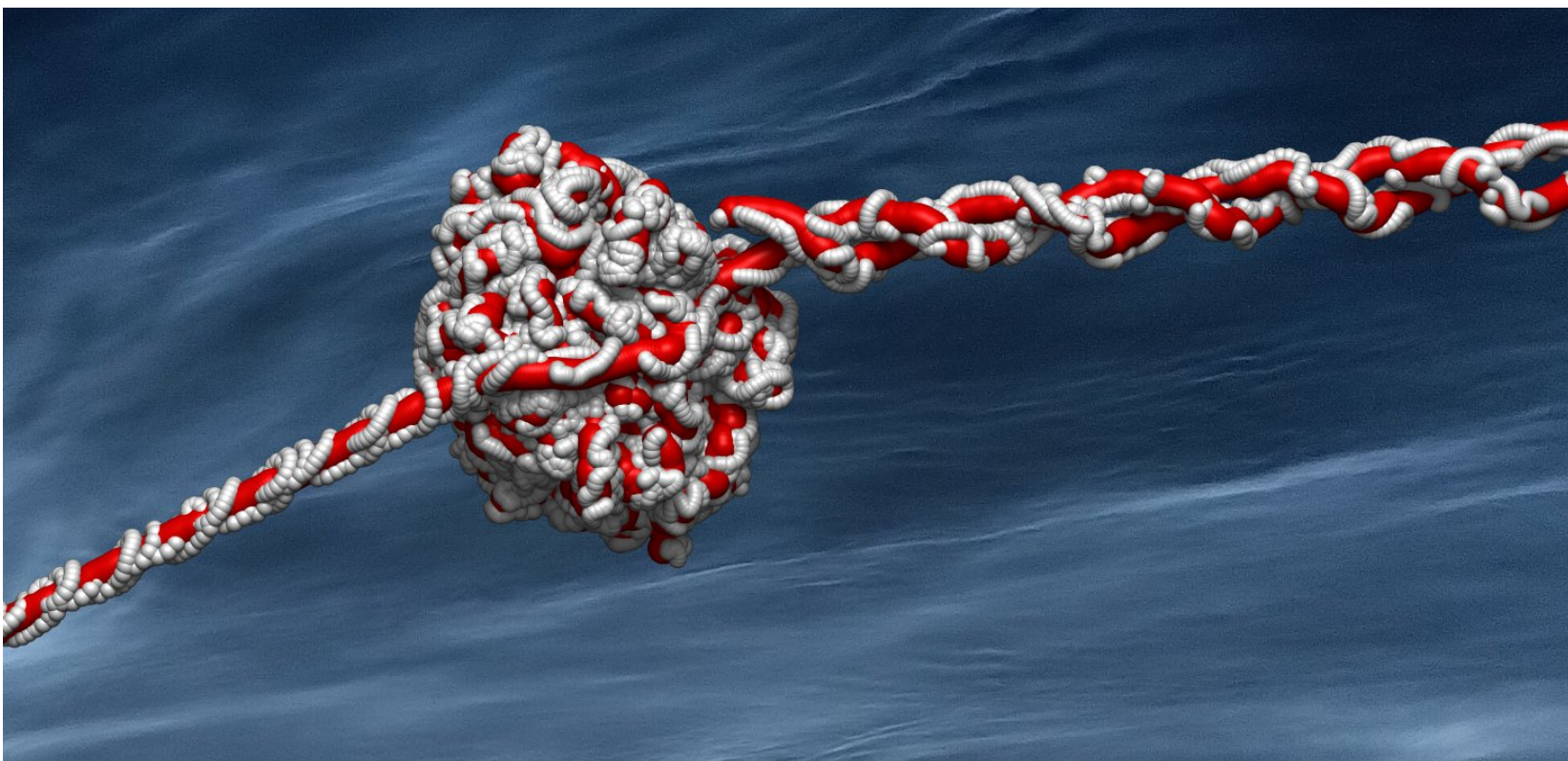
jiri.kolafa@vscht.cz, +420 22044 4257

vŠCHT Praha, místo A402 (4. p. nad zadním vchodem)

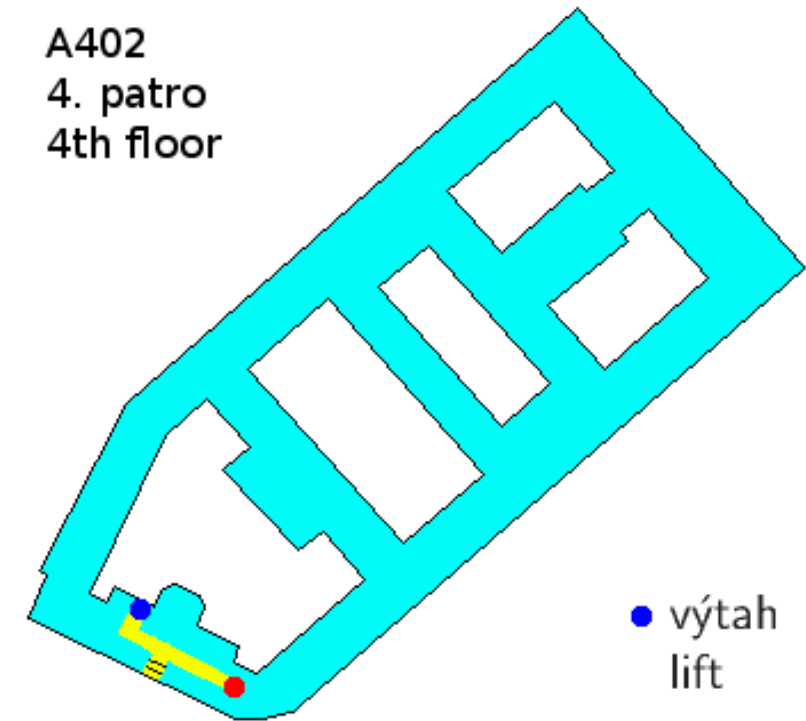
Web pro předmět Počítačová chemie (B403011),

část Molekulové modelování a simulace:

<http://old.vscht.cz/fch/cz/pomucky/kolafa/B403011.html>



A402  
4. patro  
4th floor



# Základní prvky modelování ve fyzice a chemii

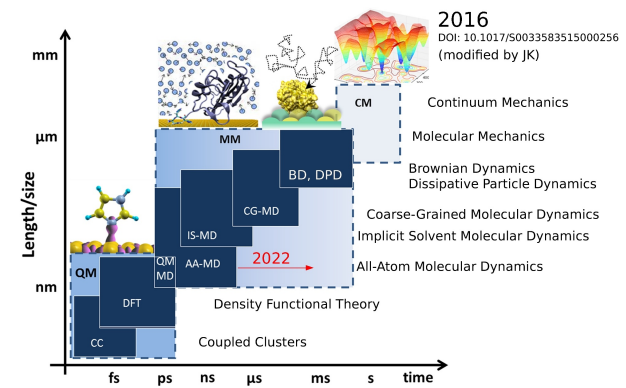
- ? elementární částice + gravitace: „teorie všeho“
- (známé) elementární částice: standardní model – at. jádra...
- jádra + elektrony + fotony: QED – přesná spektroskopie...
- jádra + elektrony: Schrödingerova rovnice – vlastnosti malých molekul, spektra, rovnováhy v plynné fázi, kinetika, fotochemie...
- atomy: klasické (nebo kvantové) atomistické modelování  
příp. pomocná centra / větší skupiny (-CH<sub>3</sub>)
- implicitní rozpouštědlo: kontinuum + náhodné síly
- hrubozrnné/zhrubené (*coarse-grained*) modely: mezo/nanoskopická škála  
element = víceatomová skupina (surfaktant = hlava + ocas, polymer = [článek]<sub>n</sub>,...)
- mikroskopická škála: větší částice – hromada písku, micely...
- materiál jako kontinuum: tok tepla, statika, atomová bomba...  
parciální diferenciální rovnice / smoothed-particle hydrodynamics
- gravitace: Einsteinovy rovnice – černé díry, gravitační vlny...



Evropský sociální fond  
„Praha & EU: Investujeme do vaší budoucnosti“

Inovace předmětu Počítačová chemie je podporována projektem CHEMnote (Inovace bakalářského studijního programu Chemie – moderní vzdělávání podpořené použitím notebooků – CZ.2.17/3.1.00/33248) v rámci Operačního programu PRAHA – ADAPTABILITY.

*multiscale modeling:* QM/MM (enzymy);  
atomi + e spojité (tok tepla/el v kovech)



# (Hyper)plocha potenciální energie

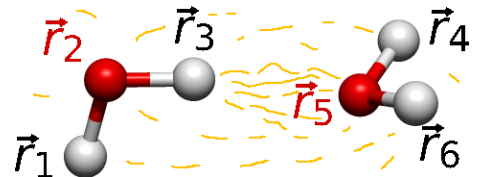
Jádra jsou mnohem těžší než elektrony  $\Rightarrow$  elektronové pohyby jsou mnohem rychlejší  
**(Bornova–Oppenheimerova approximace)**



*potential energy surface (PES)*

energie jako funkce souřadnic poloh všech atomových jader

$$E_{\text{pot}}(\vec{r}_1, \vec{r}_2, \dots, \vec{r}_N)$$



## Jak získám PES?

- z kvantových výpočtů (Schrödingerova rovnice):      approximujeme vzorcem = **silové pole**, též molekulová mechanika, potenciál, model:
- velmi drahé, zvl. pro mnoho atomů
  - + nepotřebuje „silové pole“  $\Rightarrow$  velká predikční schopnost
  - pro některé jevy dost nepřesné
  - + levné
  - jen tak přesné, jak přesné je silové pole  $\Rightarrow$  malá predikční schopnost

**kombinace:** QM/MM metody (Quantum Mechanics/Molecular Mechanics)

**něco mezi:** neuronovou síť naučím na přesných QM metodách

# PES a modelování v chemii

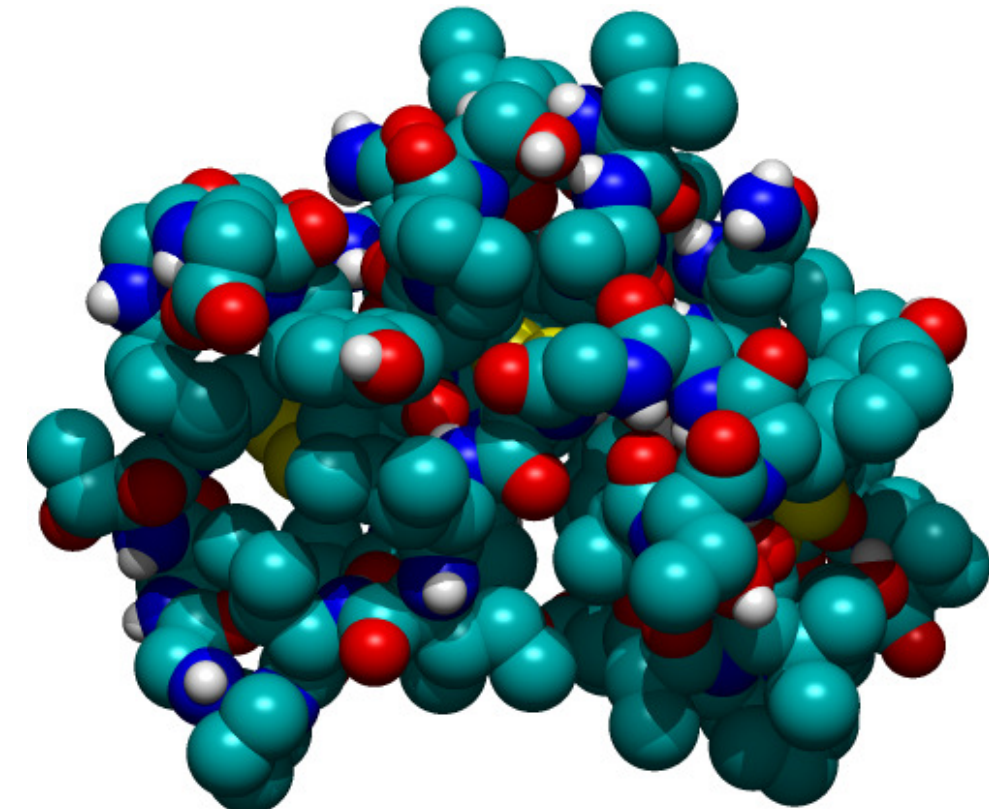
- použiju klasickou mechaniku:
  - na statické výpočty (minimum energie, potenciál v okolí aj.)
  - na výpočet vývoje systému v čase (**molekulová dynamika**, MD);  
s *ab initio* PES = AIMD (náročné!)
  - na výpočet termodynamických veličin vzorkováním (**Monte Carlo**, MC)
- použiju kvantovou mechaniku na jádra:
  - metoda dráhového integrálu (*path integral*: PI MC, PI MD);  
s AIMD extrémně náročné
  - klasická mechanika s kvantovými korekcemi

kombinace silové pole + klasická mechanika = „**molekulová mechanika**“ (MM); v užším smyslu nezahrnuje MC a MD

Používáme PES, zpravidla popsanou silovým polem

lepší varianty mohou používat i simulace – viz dále

- Minimalizace energie ( $T = 0$ ), „optimalizace struktury“
- Refinement – zpřesnění struktury (z rozptylových experimentů)
- Biochemie: tvar molekul (klíč + zámek): docking, síly (hydrofilní/hydrofobní...)
- Deskriptory pro QSAR (Quantitative Structure–Activity Relationship)



... ale co **pohyb**?

## Co je to pohyb?

- „Skutečný“ pohyb molekul v čase
- Všechny možné konfigurace (molekul) zprůměrované v čase:

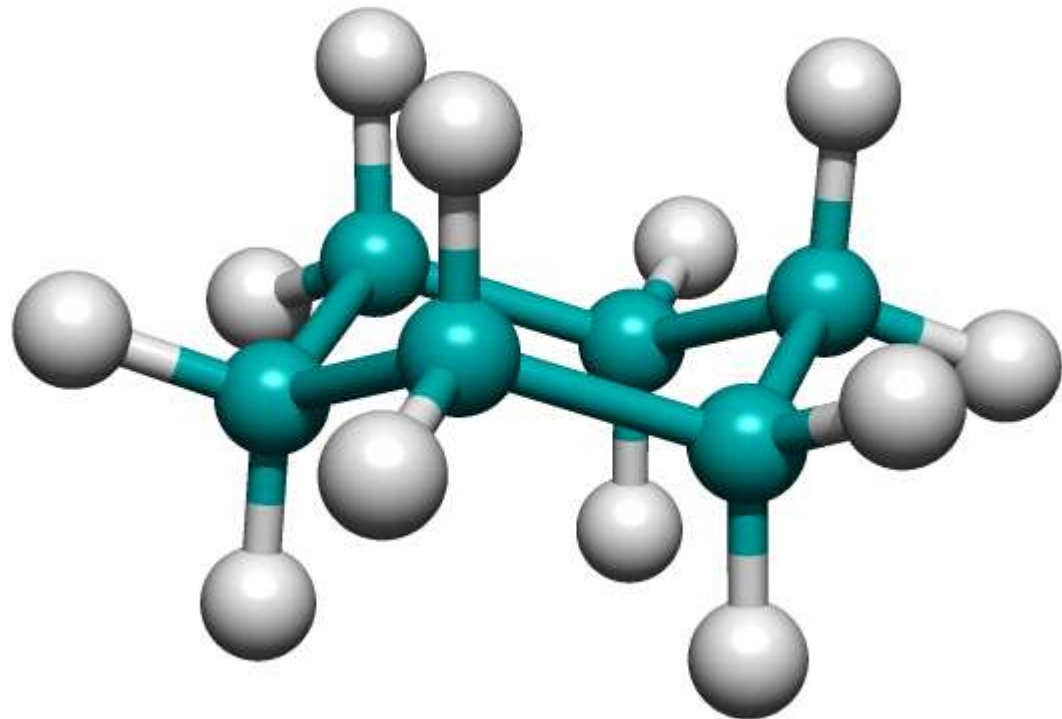


**Statistická termodynamika** se zabývá výpočtem veličin (bod varu, afinita ligandu k receptoru...) na základě představy (makro)stavu systému jako „průměru“ všech možných konfigurací

- molekulová dynamika (MD)
  - časový vývoj systému složeného z mnoha molekul
  - pohyb každého atomu je určen silami, které na něj v každém okamžiku působí
- metoda Monte Carlo (MC); přesněji Metropolisova metoda a varianty
  - posloupnost konfigurací systému generována pomocí náhodných čísel
  - provedeme náhodný pohyb molekuly a rozhodneme se, zda jej přijmeme  
(tak, aby pravděpodobnosti výskytu konfigurací molekul byly stejné jako v realitě)
- kinetické Monte Carlo
  - simulovaný děj je rozdělen na elementární události  
(např. adsorpce atomu na rostoucím krystalu, reakce na katalyzátoru)
  - událost, ke které dojde, vybíráme podle známé pravděpodobnosti
- kvantové simulace – MD, MC
- metody Las Vegas – náhodná cesta k deterministickému výsledku (náhodný pivot)

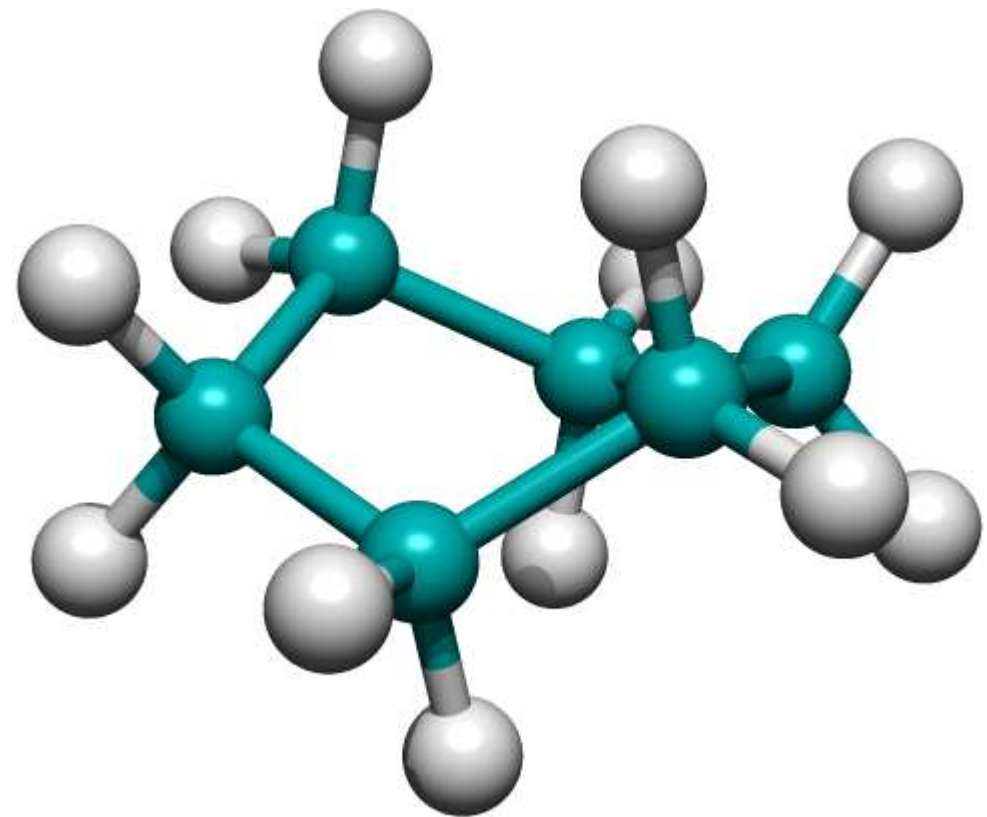
- Kapaliny:
  - vliv struktury na vlastnosti (anomálie vody), roztoky
  - fázové rovnováhy, rozpustnost
  - povrchy a rozhraní, surfaktanty
- Pevné látky:
  - struktura krystalů, materiály (poruchy)
  - adsorpce (zeolity)
- Biochemie:
  - proteiny, nukleové kyseliny, iontové kanály, lipidické membrány
- Nanoobjekty:
  - micely, polymery, samoskladba (coarse-grained modely, mřížky)
- Podobnými metodami lze studovat:
  - sypké materiály, optimalizace, šíření epidemií, aktivní hmota a další modely „agentů“, evo-devo (evoluční vývojová biologie)...

## Optimalizace struktury (molekulová mechanika)



židlička  
*chair*

experiment: 28 kJ/mol  
model: 26 kJ/mol

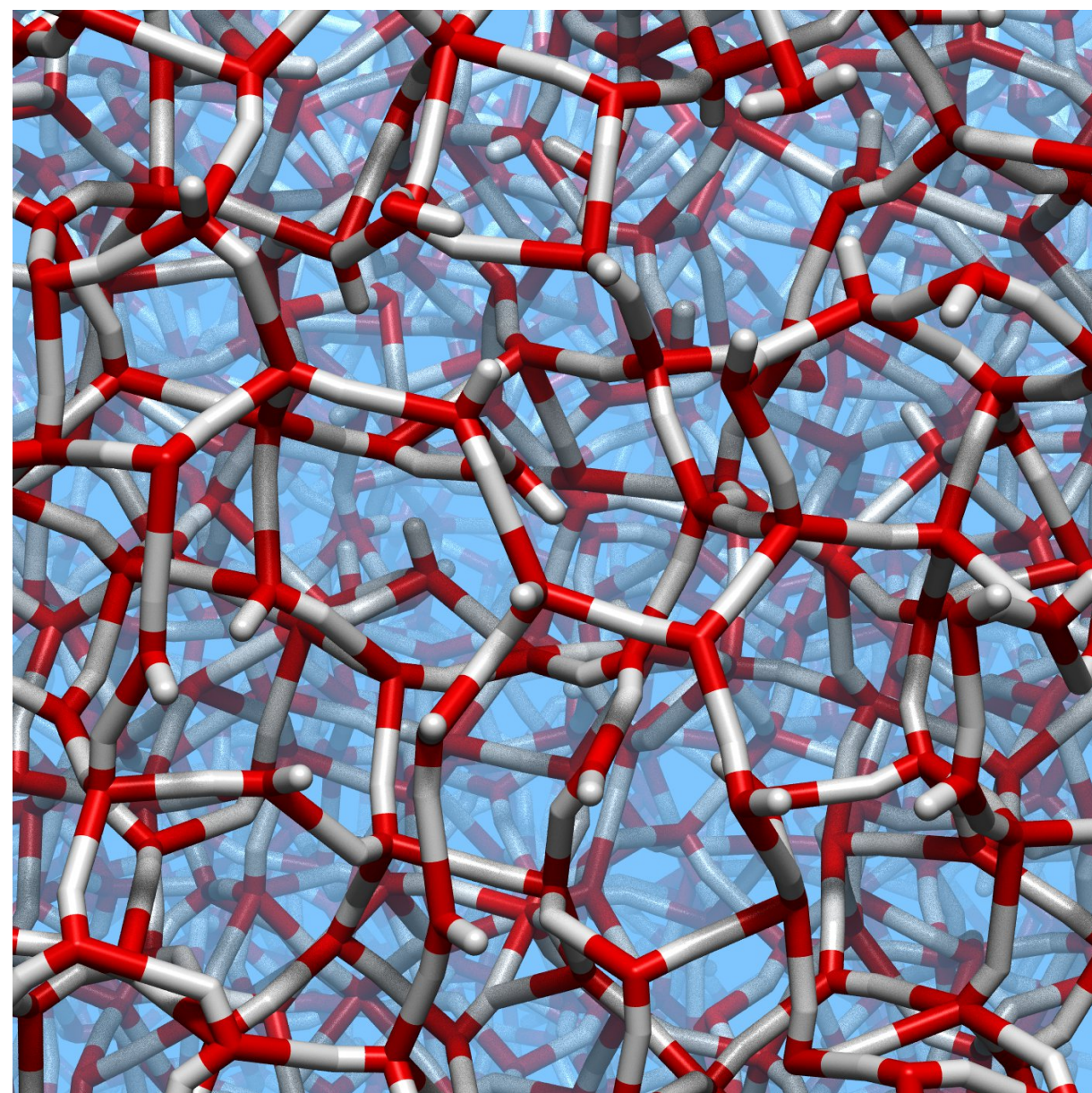


zkřížená vanička  
*twist (skew) boat*

experiment: 45 kJ/mol  
model: 53 kJ/mol

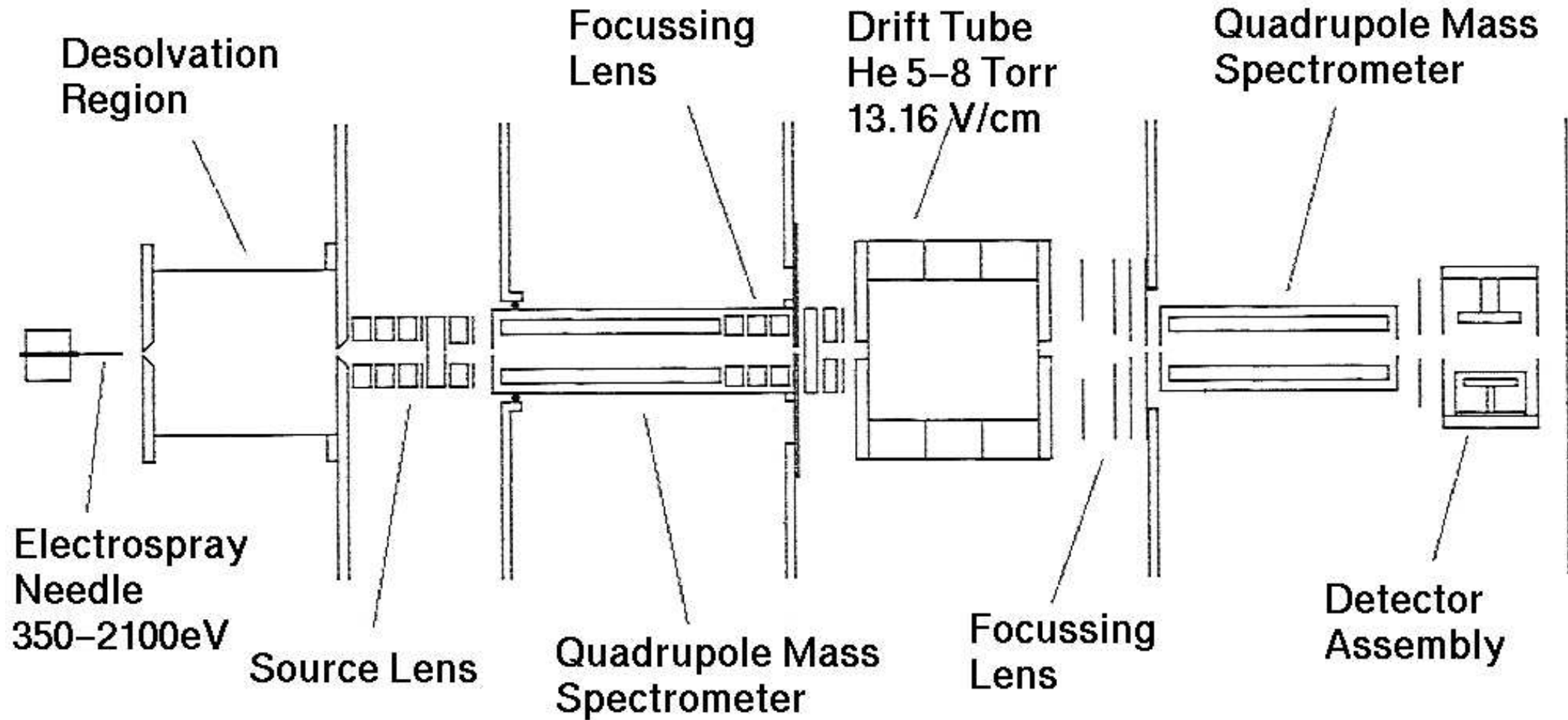
## Kapalná voda (rovnovážná MD)

- 10000 molekul
- 300 K
- periodické ve směrech x, y
- adhezivní podložka
- neadhezivní poklička



# Elektrosprej cytochromu C

- Elektrosprej: rozprašování nabitých částic
- Měří se účinný průřez



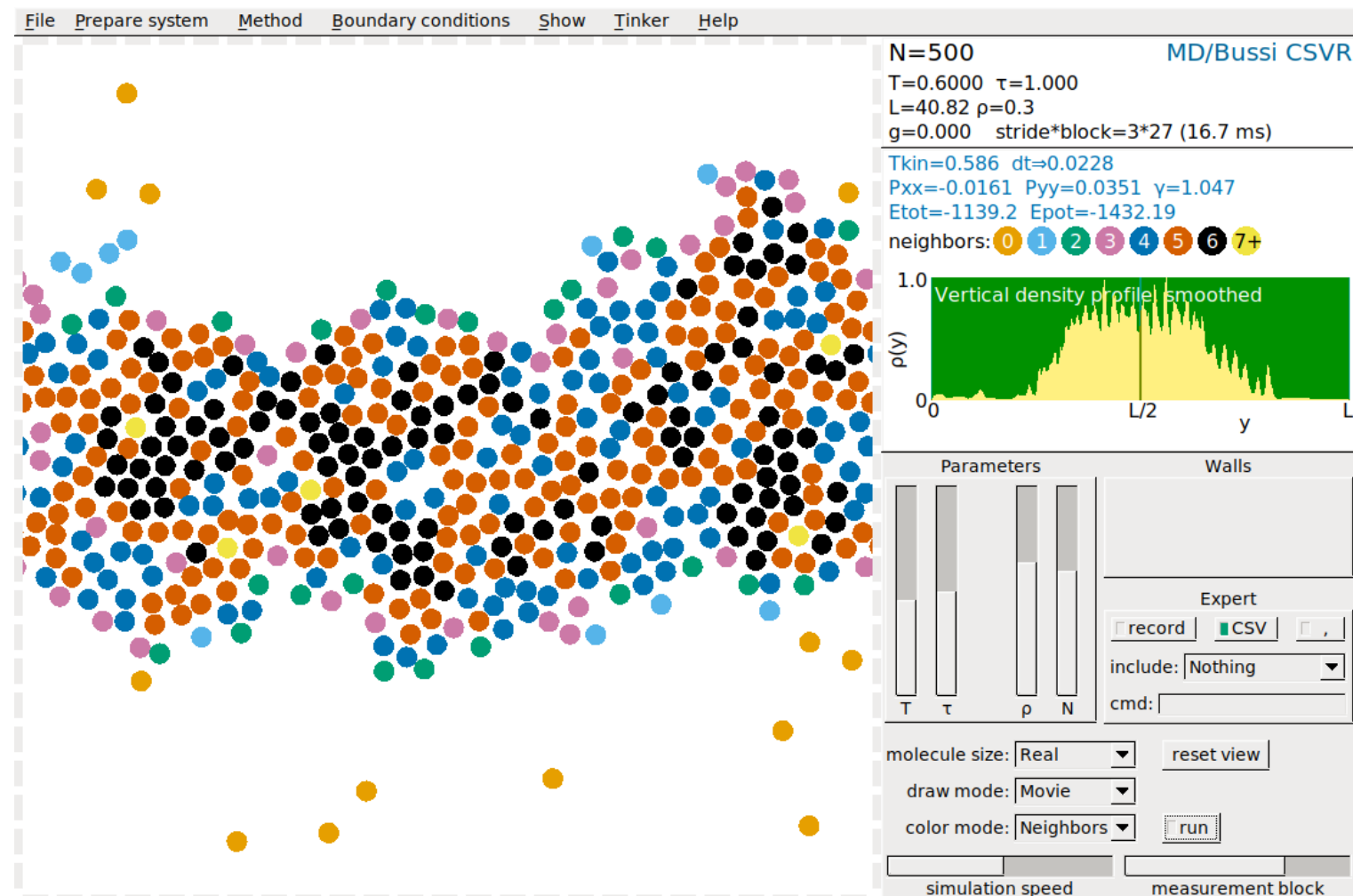
# SIMOLANT

## Vlastnosti:

- 2D „atomy“ (potenciál Lennard-Jonesova typu)
- odpudivé/přitažlivé stěny, gravitace
- MC i MD
- konstantní energie i termostat

## Jevy:

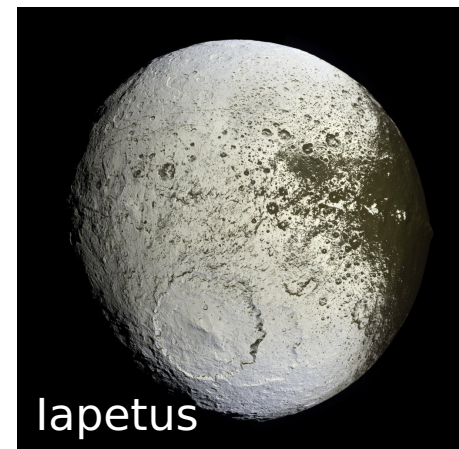
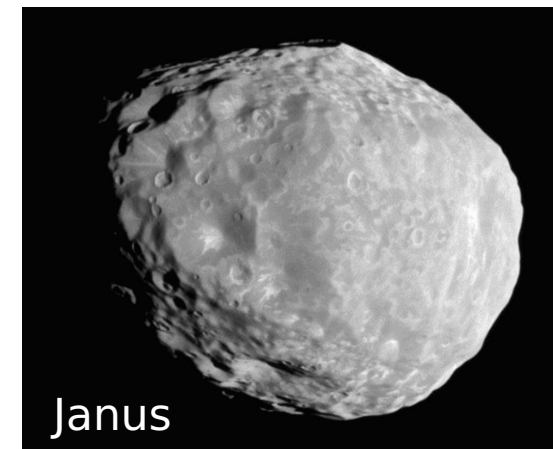
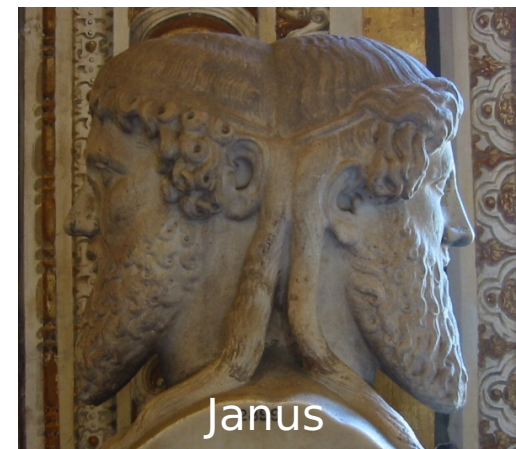
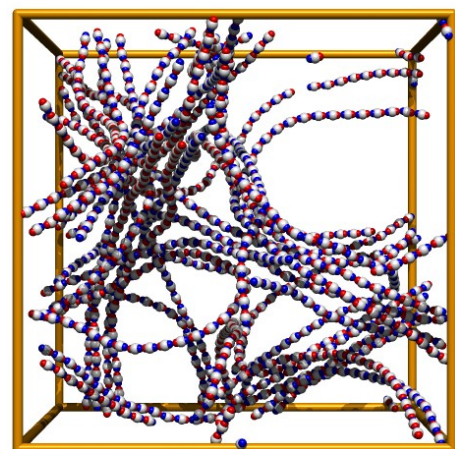
- kondenzace plynu
- zmrznutí kapky
- poruchy krystalu
- kapilární deprese a elevace
- plyn v gravitačním poli
- rovnováha kapalina–pára
- nukleace



# Self-assembly (samoskladba)

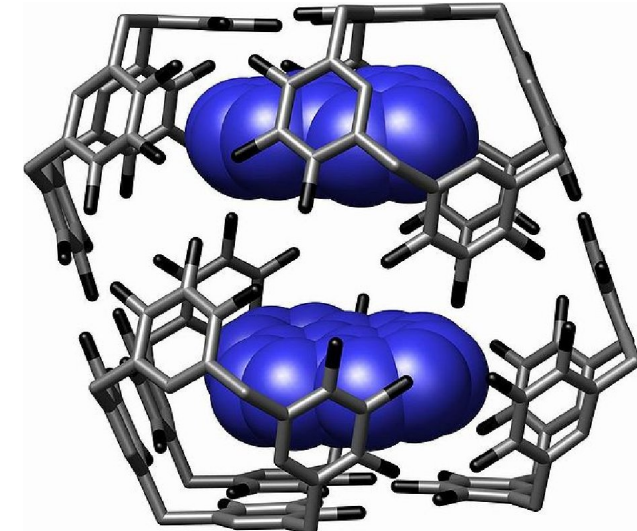
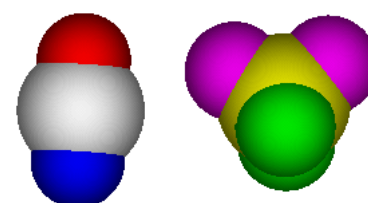
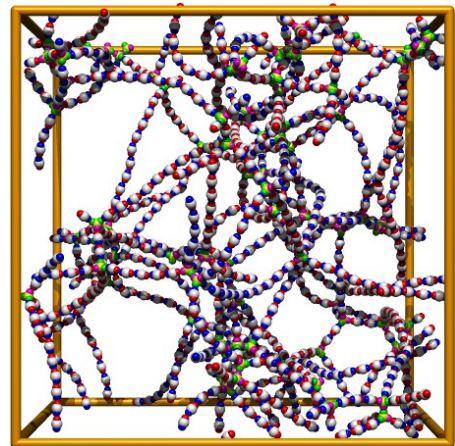
**Supramolekulární chemie:** skládání molekul pomocí (zpravidla) nekovalentních sil (van der Waals, vodíkové vazby) do strukturovaných celků

- Ukázka: dvoufunkční částice v roztoku ≈ Janus particles



credit: wikipedia, www.nasa.gov/mission\_pages/cassini

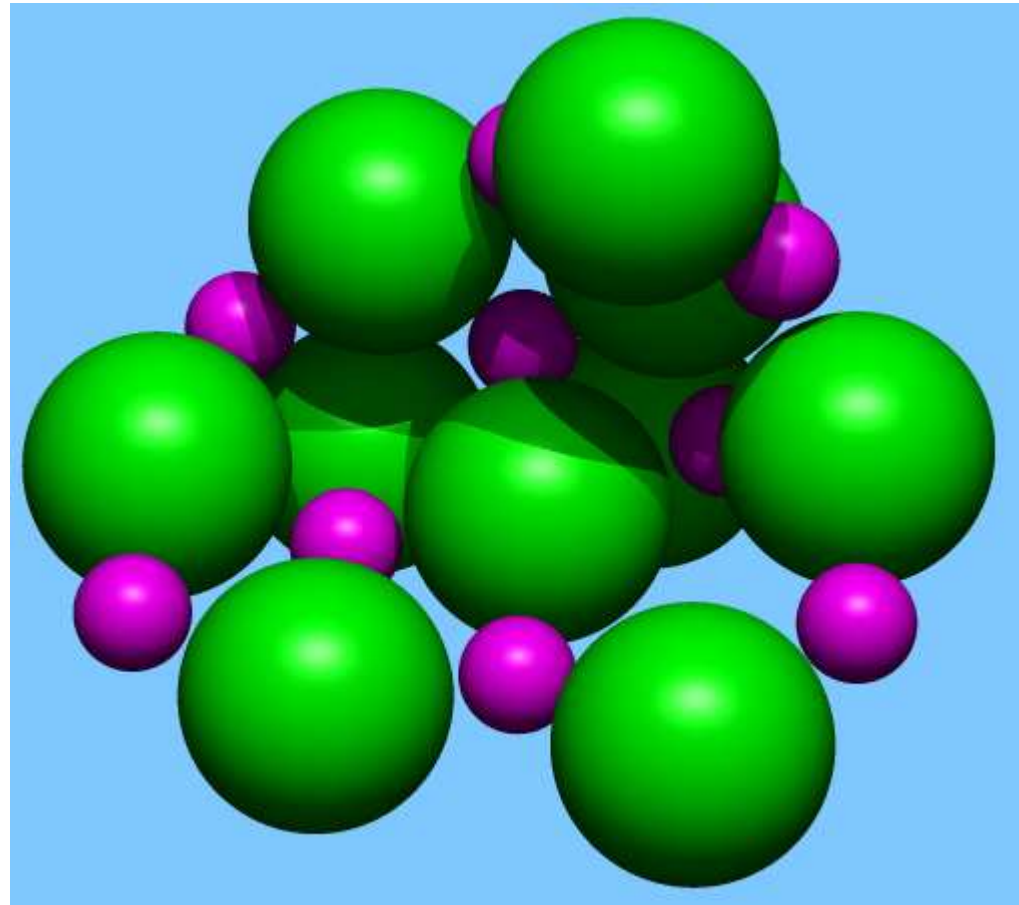
- Ukázka: + čtyřfunkční částice



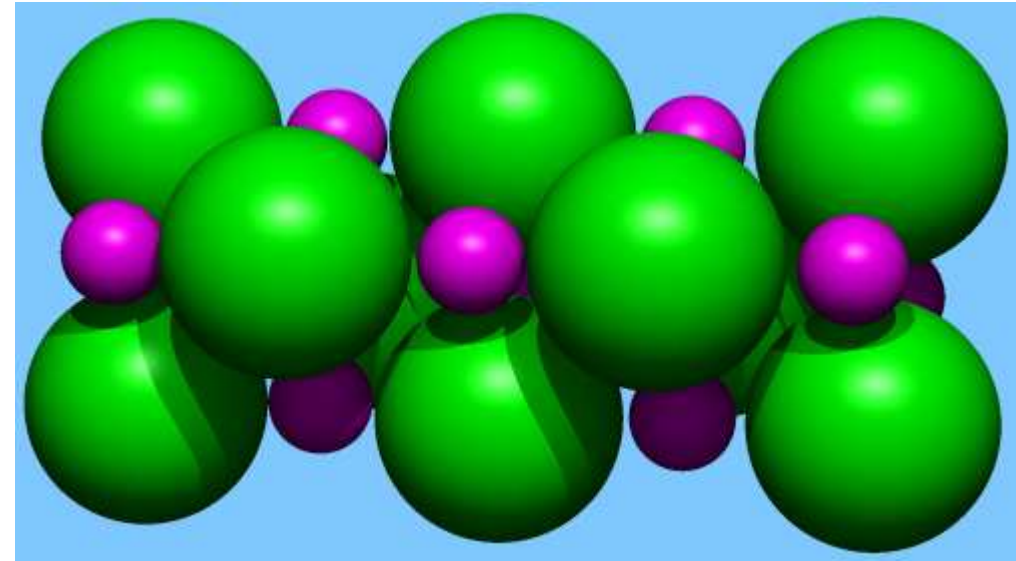
credit: Atwood et al., Science 309, 2037 (2005)

## Jak dostat minimum energie

Minimum energie (modelu) klastru  $\text{Na}_{10}\text{Cl}_{10}$



rychlé chlazení (kalení)  
minimalizace energie metodou  
konjugovaných gradientů



pomalé chlazení (popouštění)  
„simulované žíhání“  
simulace MD za snižující se teploty  
(Berendsenův termostat)

# Simulované žíhání (*simulated annealing*)

Hledáme globální minimum funkce („energie“) s mnoha lokálními minimy

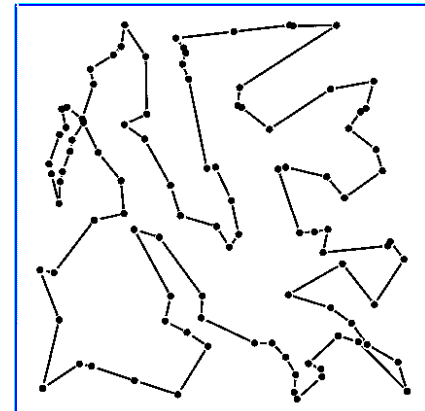
- Začneme nějakou špatnou konfigurací (např. náhodnou)
- Navrhнемe vhodné změny konfigurace  $A_i \rightarrow A_j$
- Aplikujeme Metropolisovu metodu za snižující se „teploty“  $T$

**Příklad:** Problém obchodního cestujícího (*traveling salesman*)

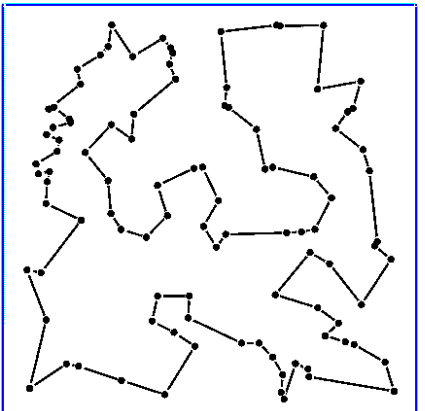
- 100 měst náhodně ve čtverci  $1 \times 1$
- Konfigurace = pořadí měst
- „energie“ = délka cesty
- Změna konfigurace = záměna 2 náhodně zvolených měst

```
for me (uvodsim/salesman.sh):
- random start
- numerical results in the console
```

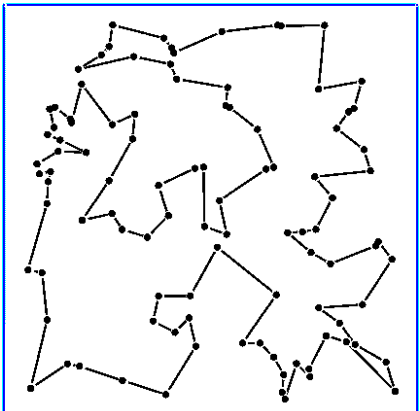
“greedy”  
(Metropolis  $T = 0$ )  
 $l = 8.5778$



simulované  
žíhání  
 $l = 7.6663$



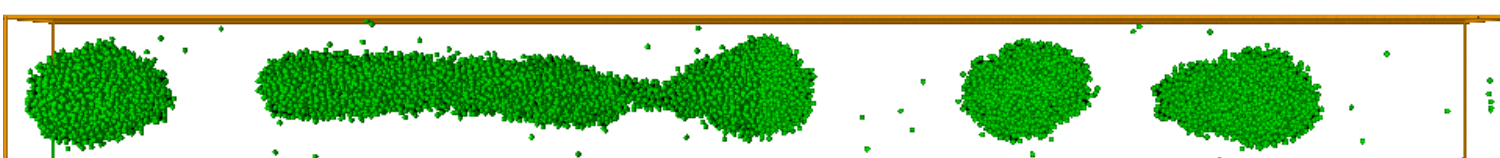
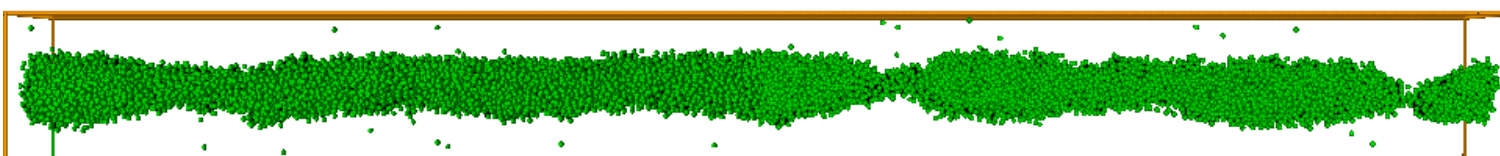
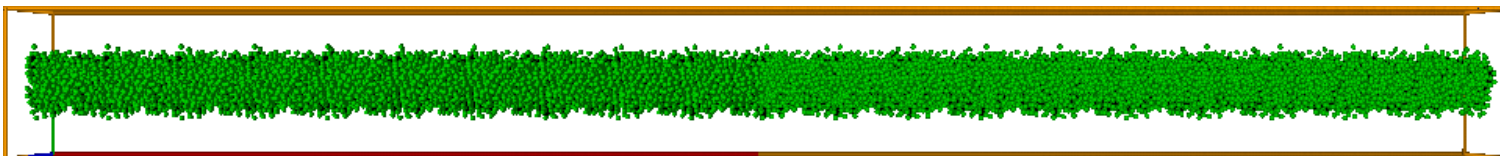
genetický  
algoritmus  
 $l = 8.1817$



## (Plateauova-)Rayleighova nestabilita

Čúrek vody se rozpadá na kapky.

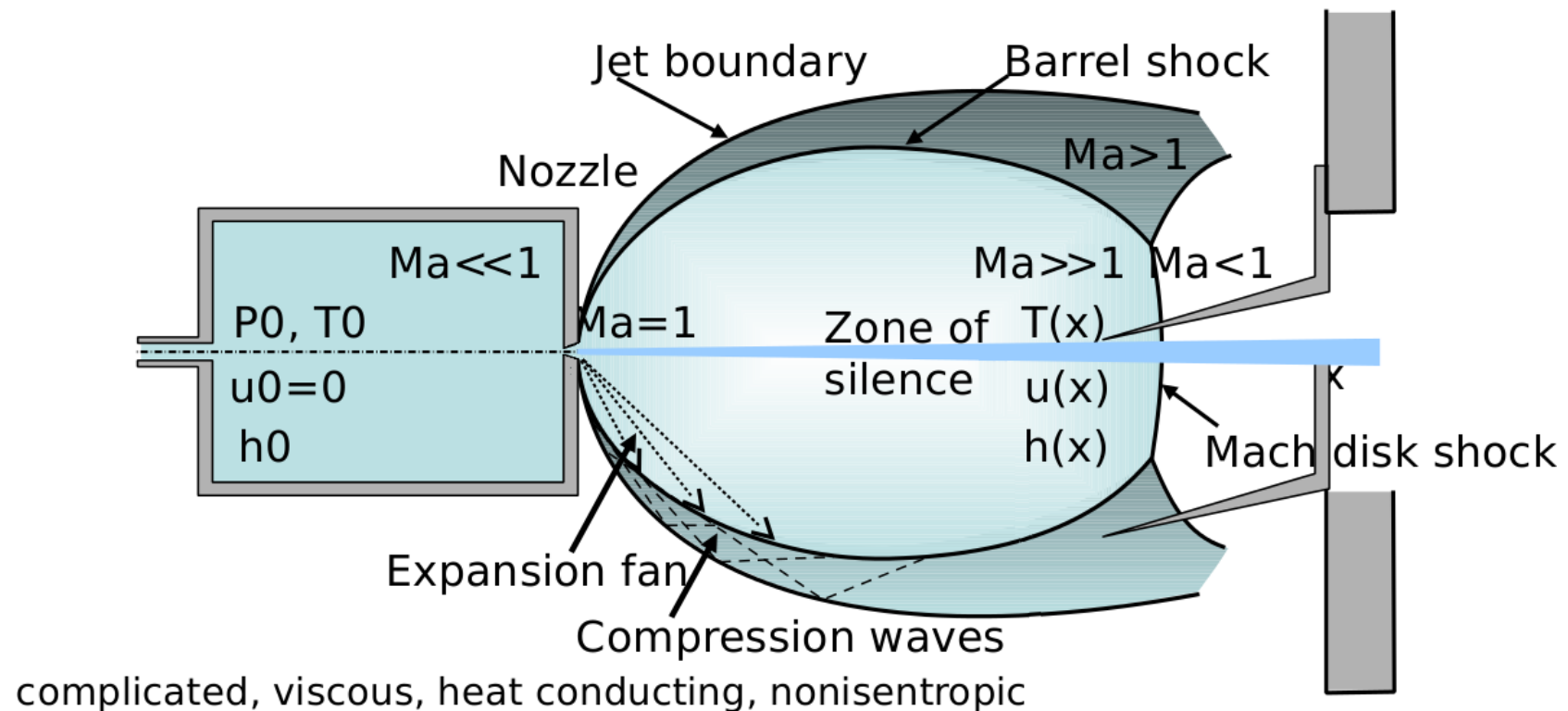
Pro poruchu  $\propto \sin(kz)$  vznikne nestabilita pro  $kr < 1$ ,  
maximální nestabilita pro  $kr = \ln 2$ .



# Nukleace při supersonické expanzi

Vodní pára o tlaku cca 5 bar se pouští velmi úzkým otvorem přes trysku do vakua a adiabaticky se ochlazuje pod bod mrazu. Lze tak studovat např. chemické reakce ve stratosféře.

## Free Jet Expansion



credit: M. Fárník

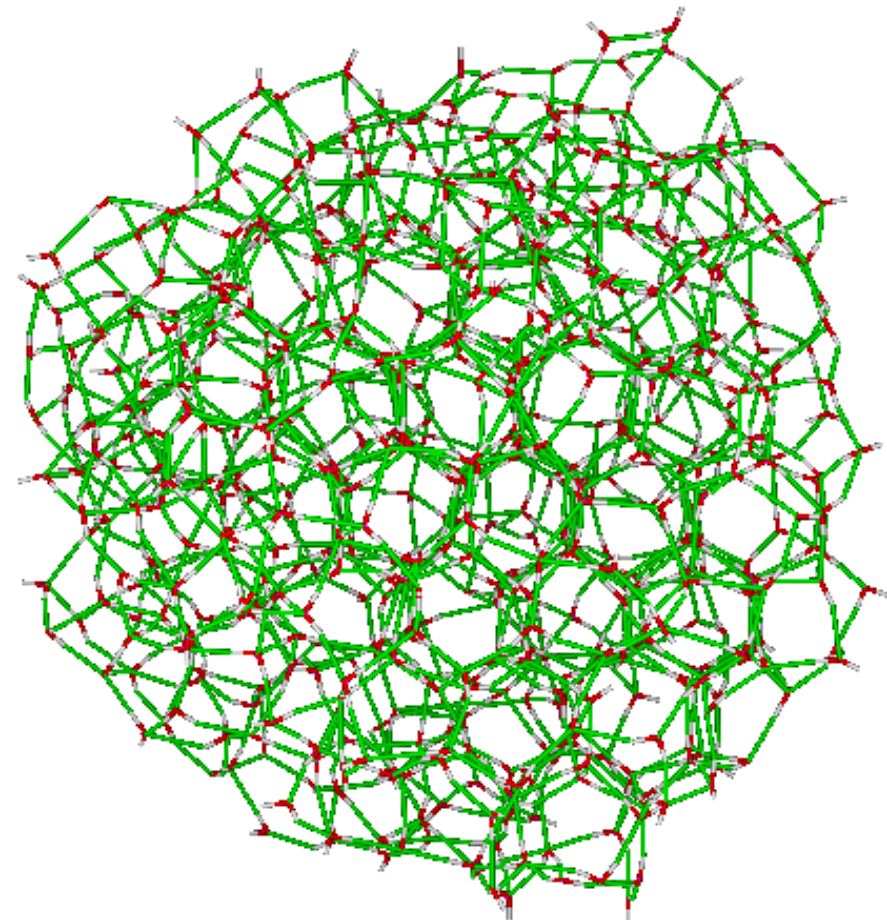
**Otázka:** Jaký je tvar, velikost a struktura klastrů ledu?

J. Klíma, J. Kolafa: *J. Chem. Theory Comput.* **14**, 2332–2340 (2018)

# Tání nanočástic

## led

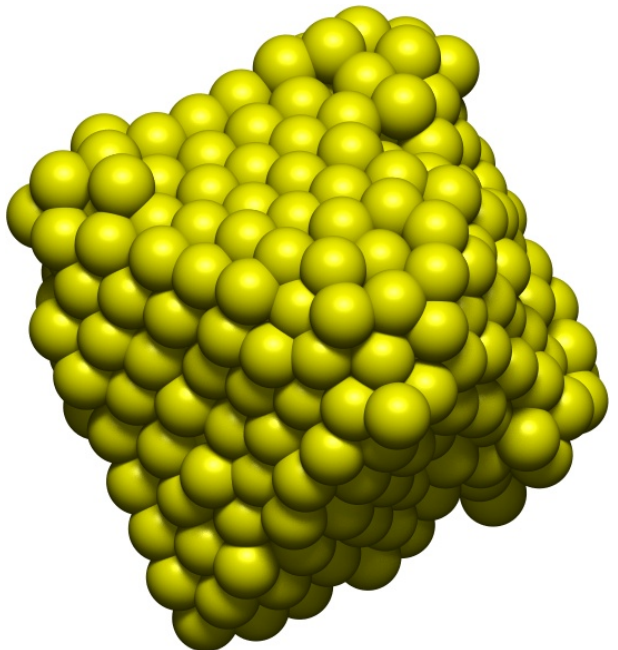
- kroupa z 600 molekul vody (led Ih)
- postupné ohřívání
- čas simulace = 5 ns
- tento model vody taje při 250 K



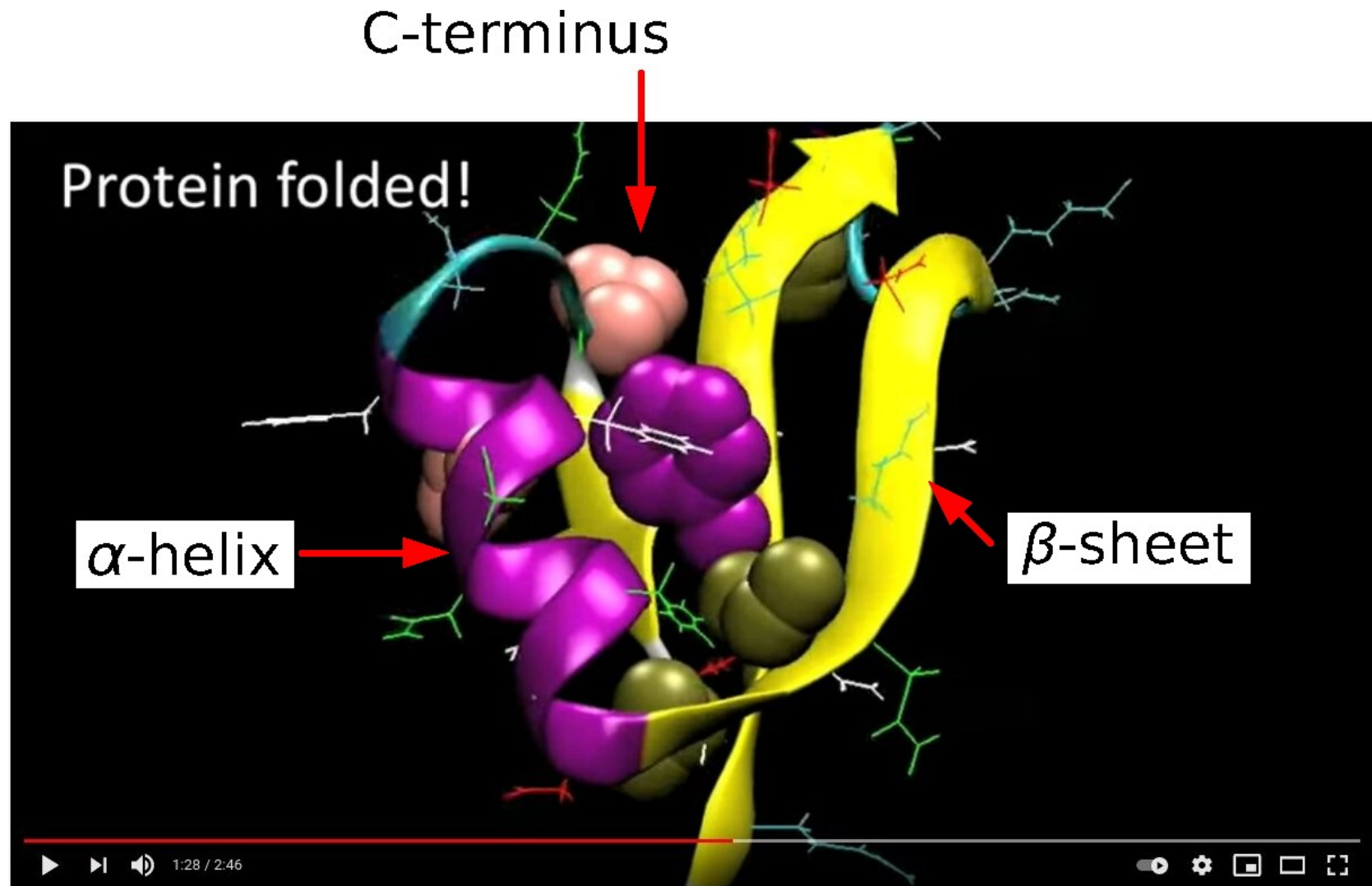
## zlato

- nanokrystal s 489 atomy zlata
- postupné ohřívání
- čas simulace = 77 ps

nanočástice tají při nižší teplotě



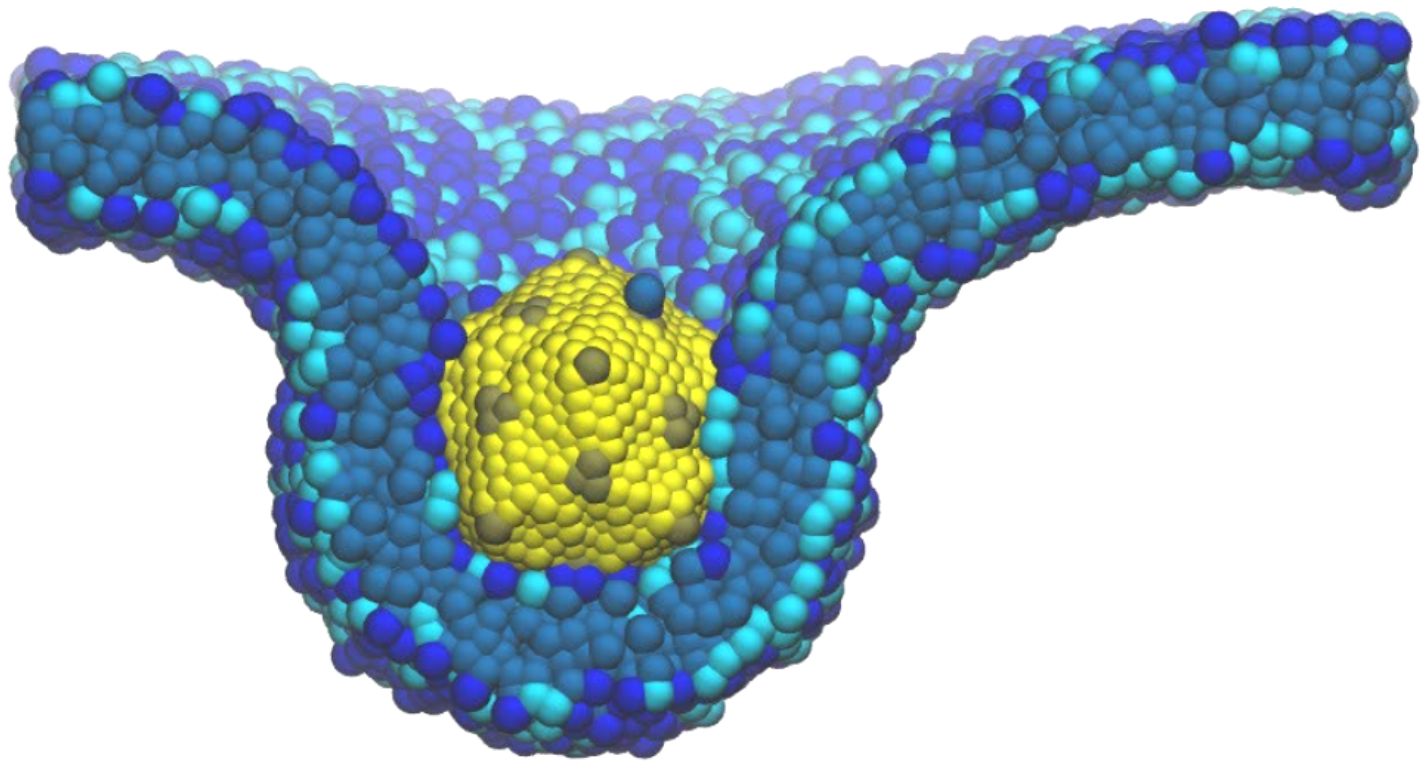
# Protein folding on the millisecond timescale



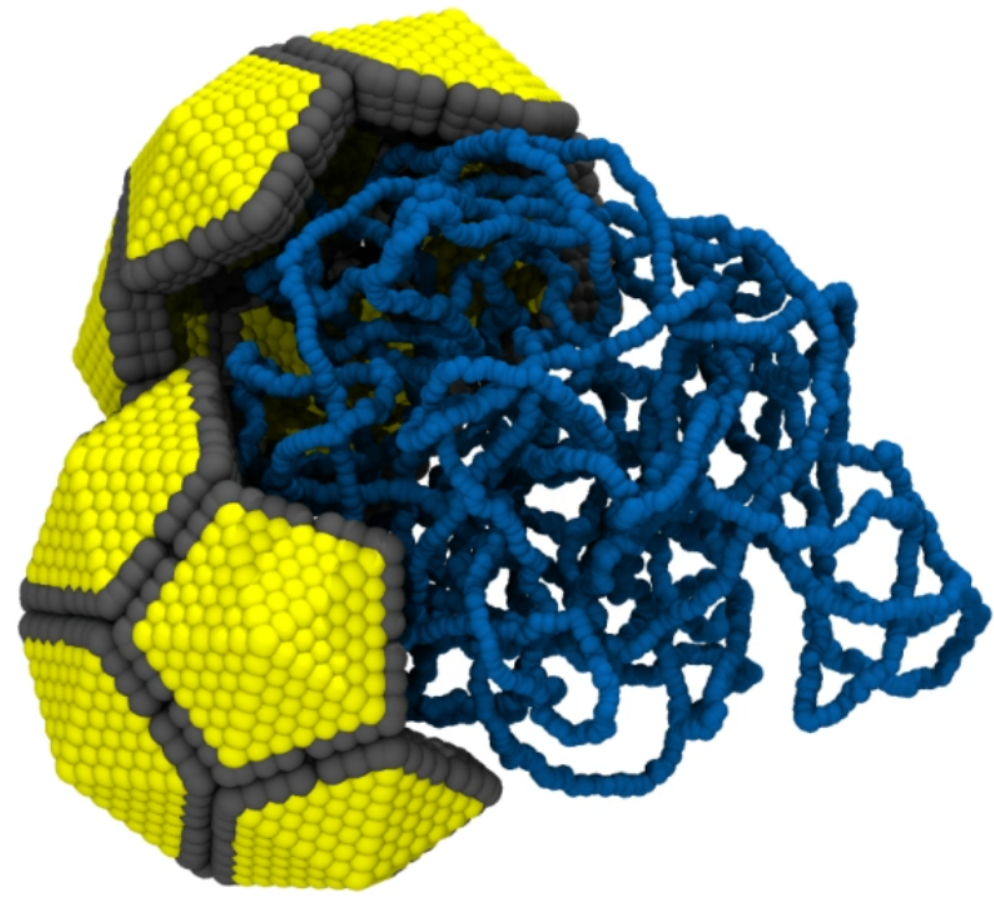
Credit: Pande Lab Science, <https://pubs.acs.org/doi/abs/10.1021/ja9090353>

## Hrubozrnné simulace

- zhrubený (hrubozrnný, *coarse-grain*) model, Langevinův termostat (náhodné síly)
- voda není ukázána



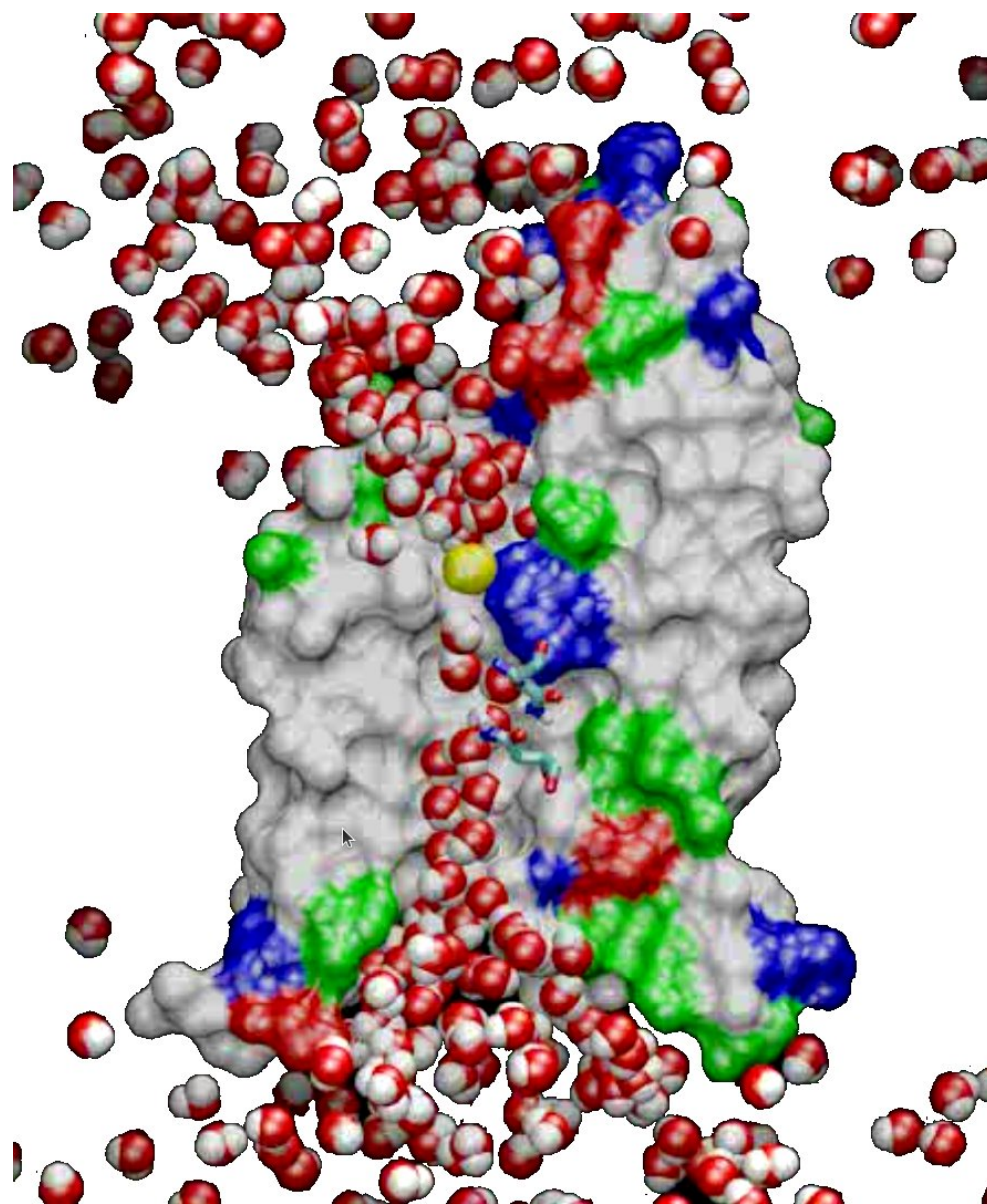
endocytoza



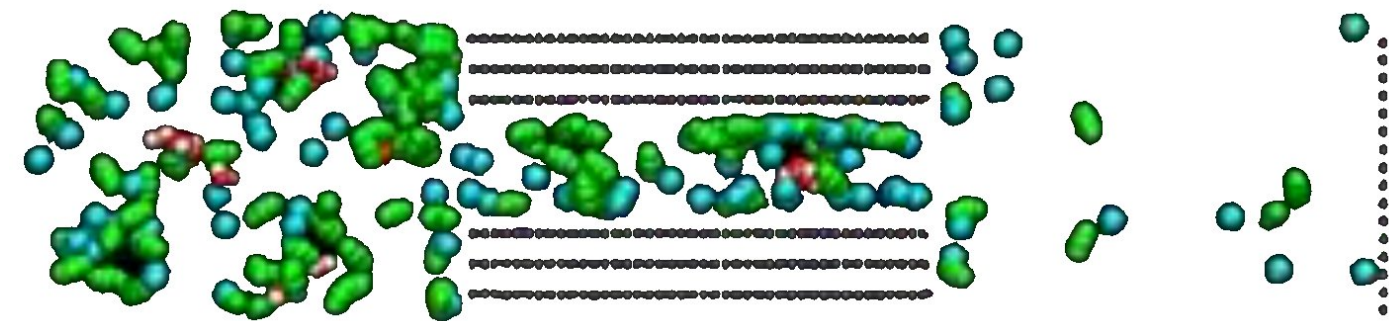
uvolnění RNA z kapsidy

# Póry

difuze vody kanálem akvaporinu



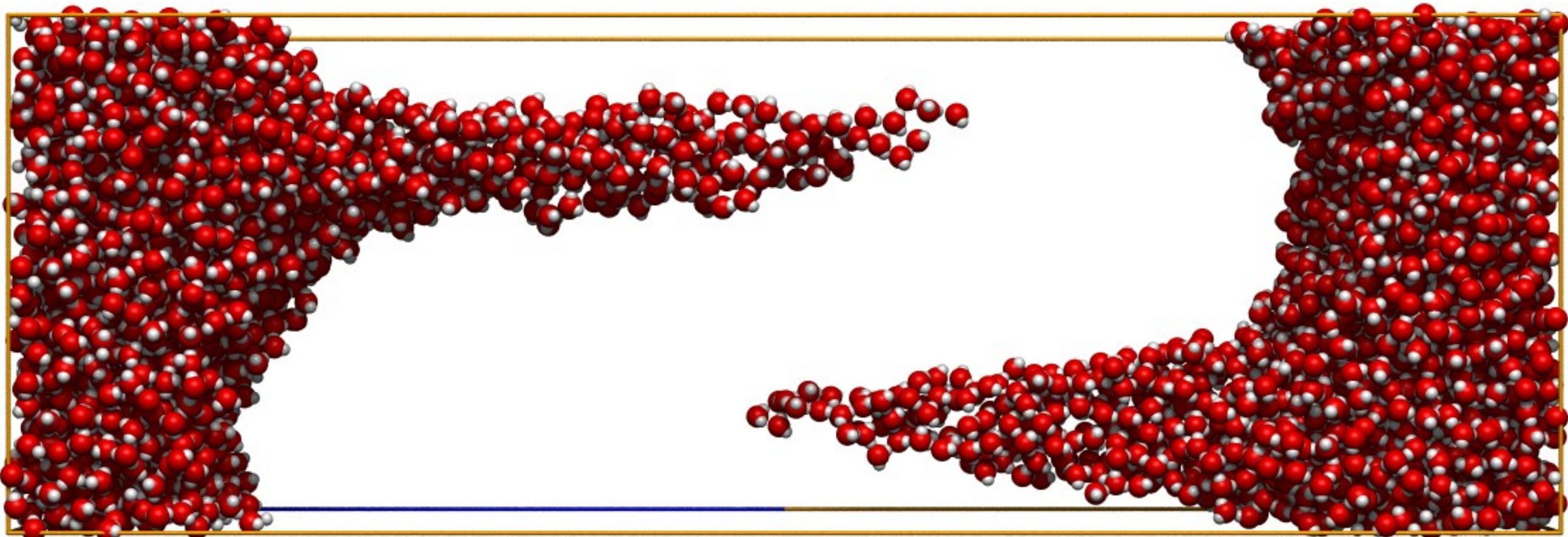
difuze směsi vodní páry, dusíku a oxidu uhličitého  
uhlíkovou nanotrubičkou



Poděkování: Pál Jedlovszky

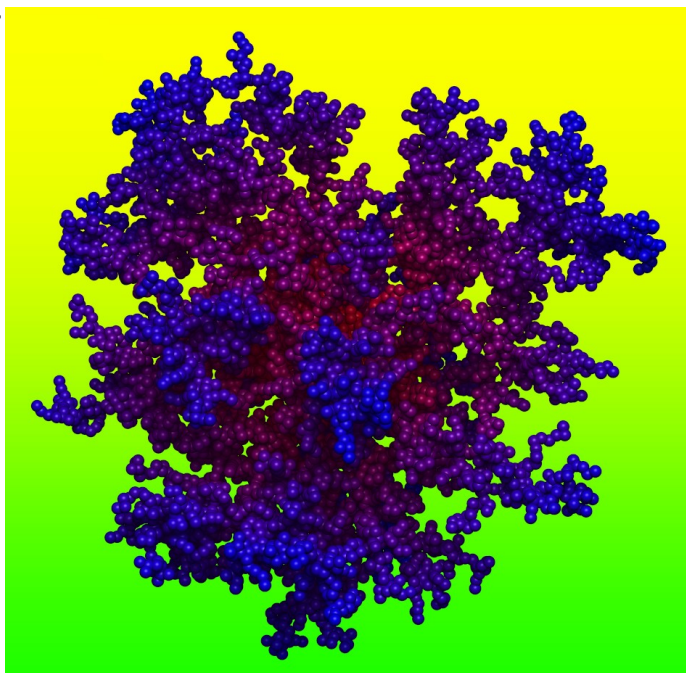
# Electrospinning

- 5000 molekul SPC/E vody, pole 1.5 V/nm, čas simulace 135 ps
- electrospinning začíná vznikem tzv. Taylorova kužele
- špička se protáhne na vlákno, jež je stabilizované elektrickým polem



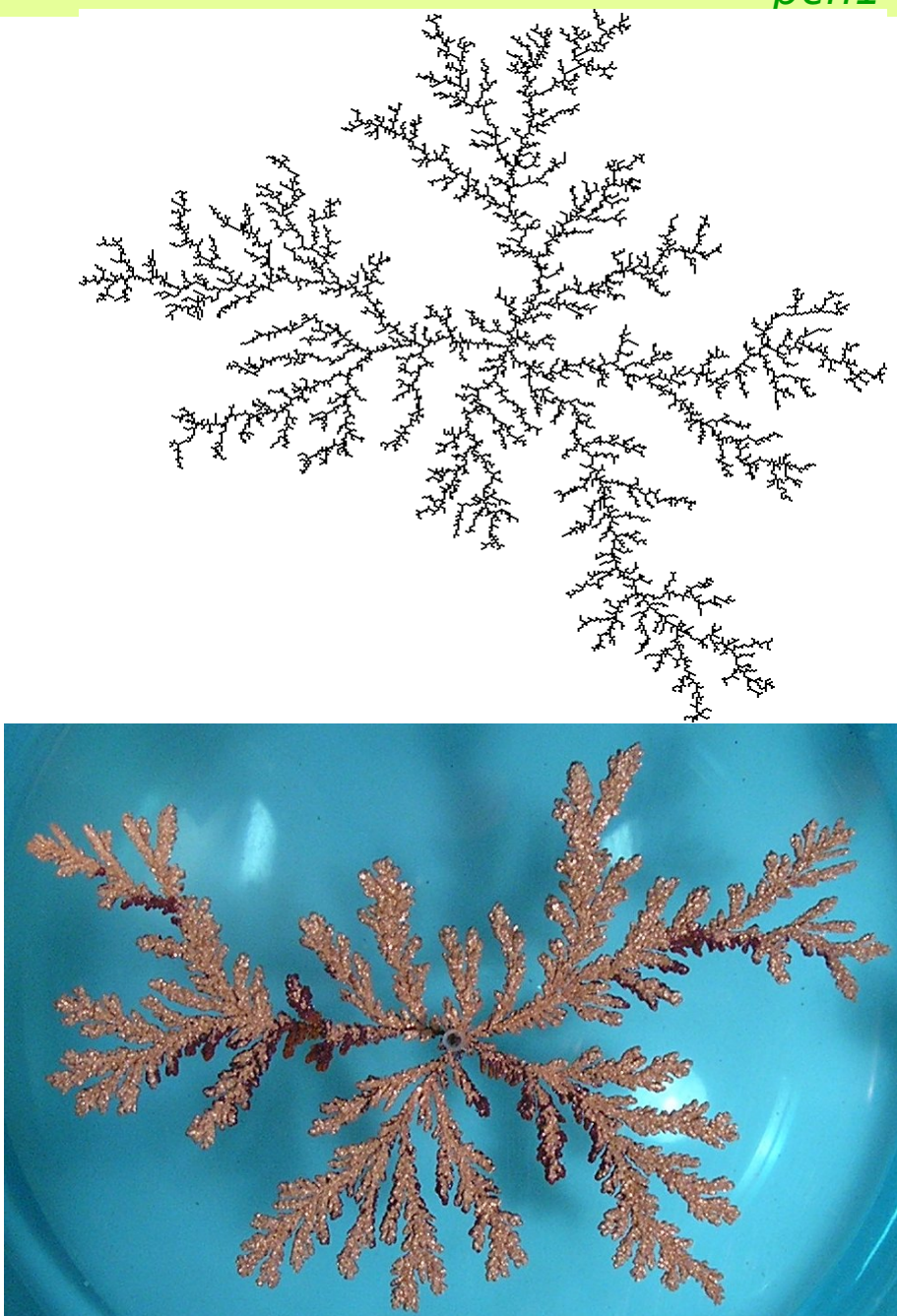
## Fraktální dimenze – náhodné fraktály

- Trajektorie Brownova pohybu (náhodná procházka s protínáním, lineární polymer v  $\theta$ -rozpuštědle):  $D = 2$
- Náhodná procházka bez protínání (lineární polymer v dobrém rozpuštědle) ve 3D:  $D = 1.7$
- Dendrimer (vzniklý difuzně řízenou agregací, ve 2D):  $D = 1.7$
- Dendrimer vzniklý difuzně řízenou agregací (ve 3D):  $D = 2.5$
- Brokolice  $D = 2.66$
- Povrch plic  $D = 2.97$



elektrodepozice mědi →

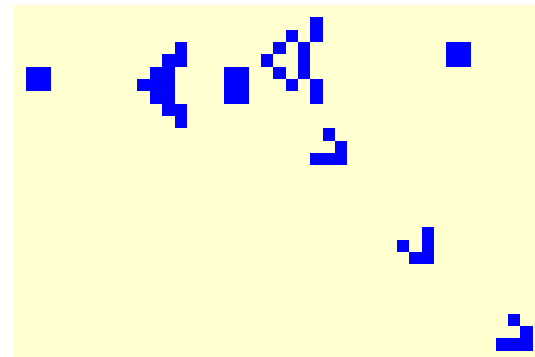
credit: wikipedia



# Buněčné automaty

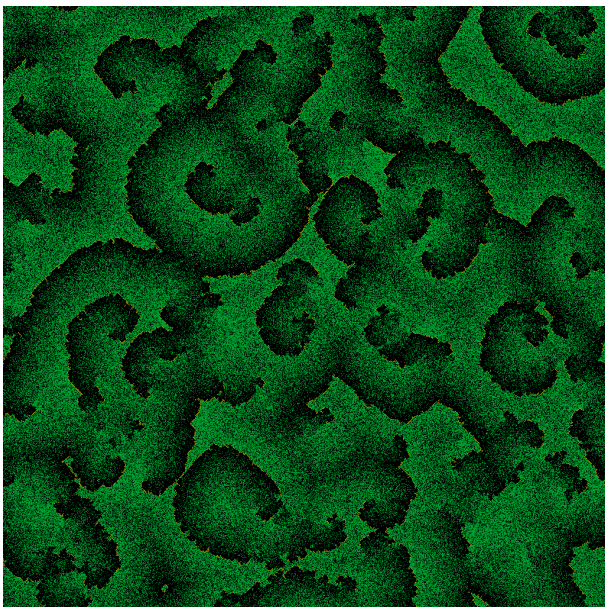
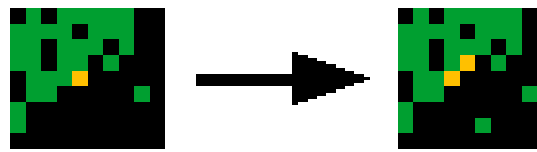
**Deterministický příklad:** Conwayova hra „Life“

Credits: <https://conwaylife.com>, Animation: Wikipedia



**Stochastický příklad:** „Požár pralesa“: tři stavy: ■ popel / ■ strom / ■ oheň:

- Má-li živý strom hořícího souseda, vzplane.
- Hořící strom se změní na popel.
- Na spáleništi vyroste nový strom s pravděpodobností  $p$



**Kontext:** reakčně-difuzní mechanismus vzniku vzorů  
(*pattern formation*, Turing)

← Požár pralesa,  $p = 0.001$

Reakce Bělousova-Žabotinského →

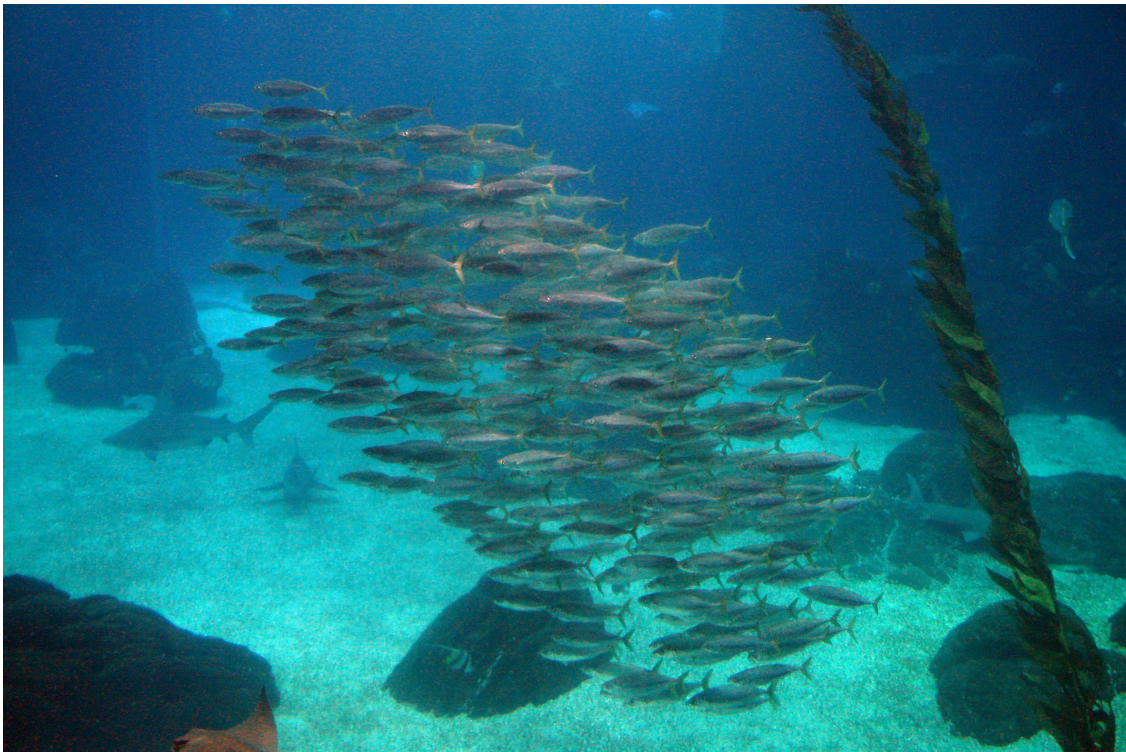
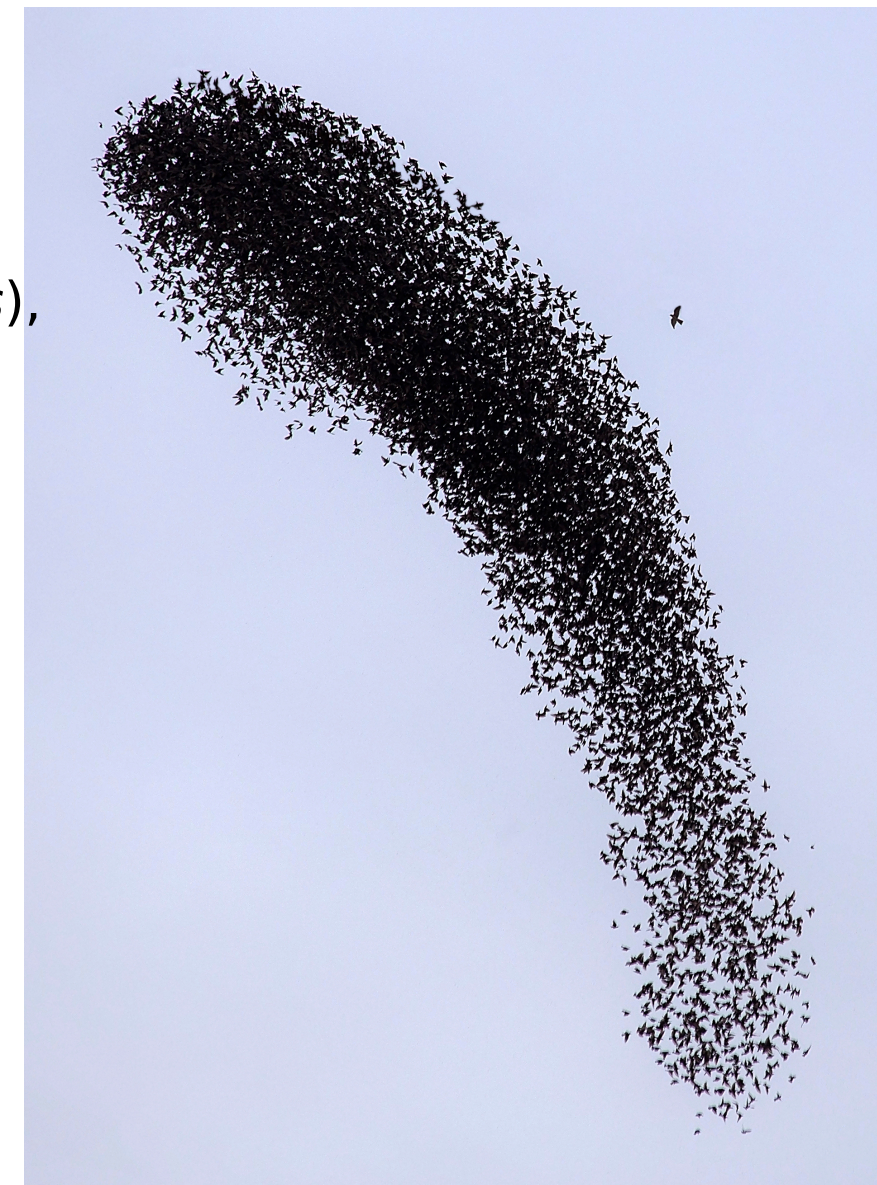
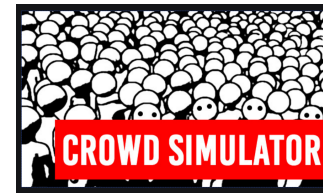
Vzory na kůži žirafy →→



# Aktivní hmota

Aktivní hmota se skládá z **agentů**

- Kolektivní pohyb živočichů:  
2D: stádo, dav; 3D: roj, hejno
- Částice s vlastním aktivním pohybem (*self-propelled particles*),  
nanoboty, nanomotory
- Biologické tkáně, migrace buněk



credit: flock of starlings: wikipedia

Crowd Simulator

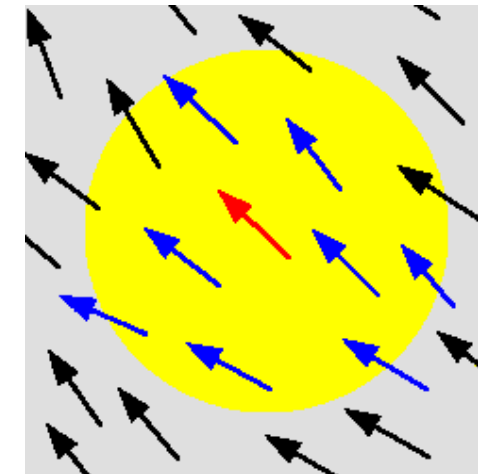
# Vicsekův model

Tamás **Vicsek**, Maďarský fyzik (1995).

Agent  $i$  je popsán polohou  $\vec{r}_i$  a rychlostí  $\vec{v}_i$ .

Simulace postupuje v cyklech, každý přes všechny agenty:

- Nová rychlosť = průměr z rychlosťí sousedů (do určité vzdálenosti  $c$ ).
- Přičte se náhodná izotropně rozložená rychlosť (šum).
- Rychlosť agenta je normalizovaná,  $|\vec{v}_i| = v_0$ .

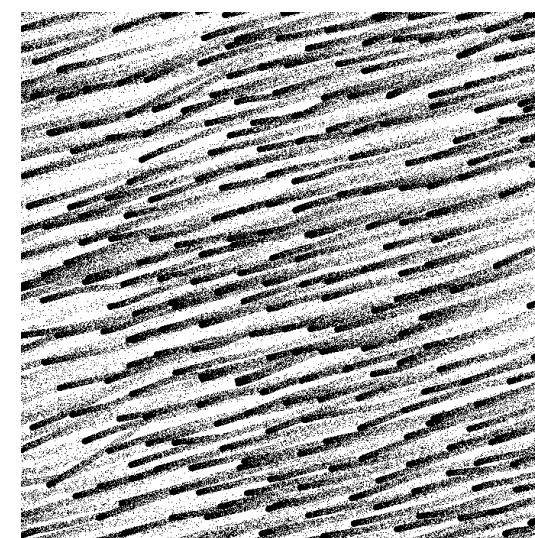


Parametry: max. vzdálenost souseda  $c$ , rychlosť  $v_0$ , časový krok, šum (3 jsou nezávislé)

Model vykazuje fázový přechod 1. druhu:

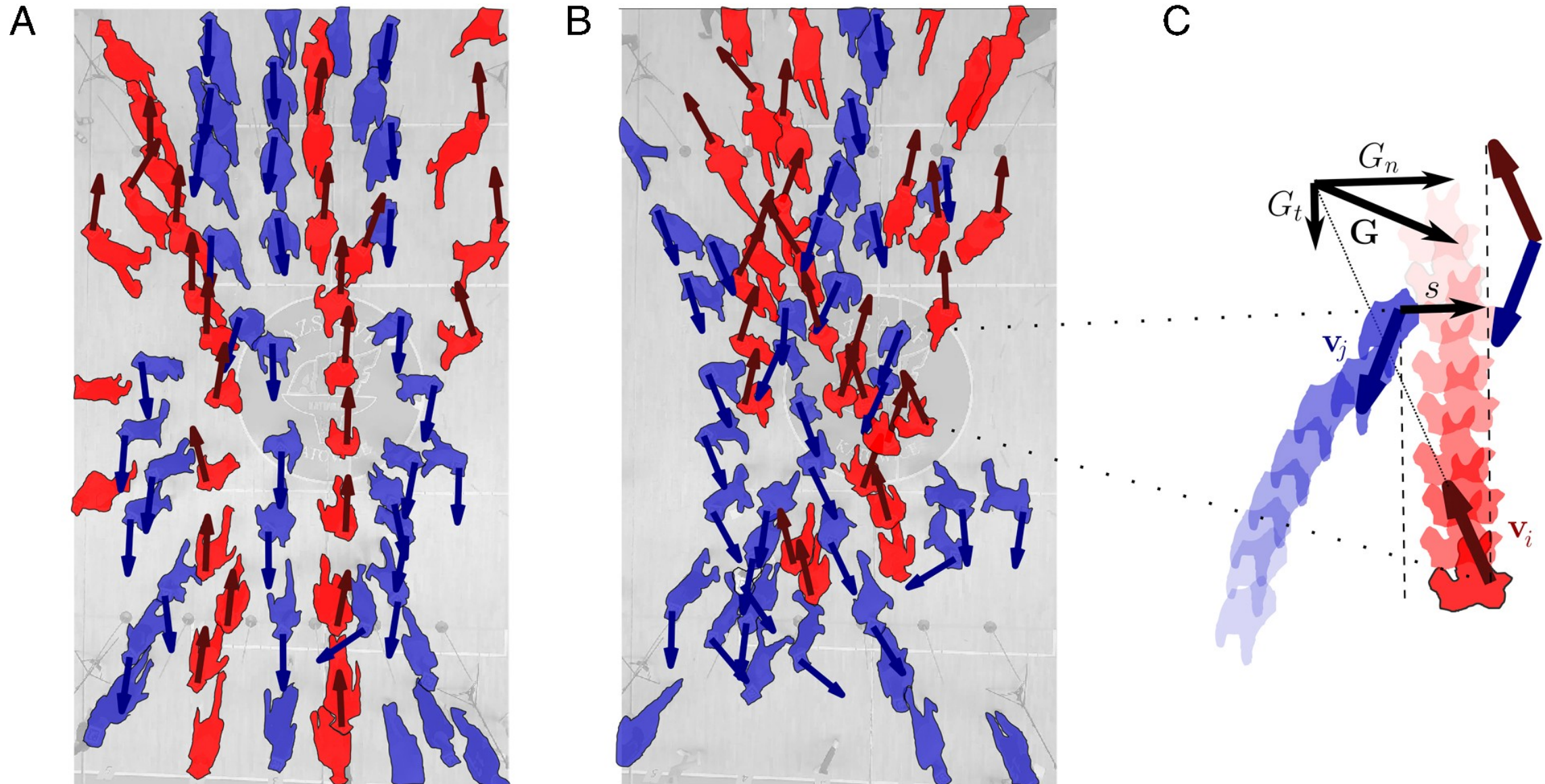


chaotický pohyb

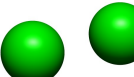


velké uspořádané oblasti

K.A. Bacik et al.: Order-disorder transition in multidirectional crowds, PNAS (2025)



# Síly mezi molekulami (a v molekulách)

Např dva atomy argonu  ve vzdálenosti  $r$

**Odpuzování** (repulze) na kratších vzdálenostech je způsobeno překryvem orbitalů:

- Pauliho repulze:  $u(r) \propto e^{-\text{const}r}$

symbol  $\propto$  znamená „je úměrný“

- méně přesně:  $u(r) \propto r^{-12}$

- kvalitativně: tuhá koule (tuhé těleso)

**Přitahování** (atrakce) na delších vzdálenostech

– model fluktuující dipól-indukovaný dipól:

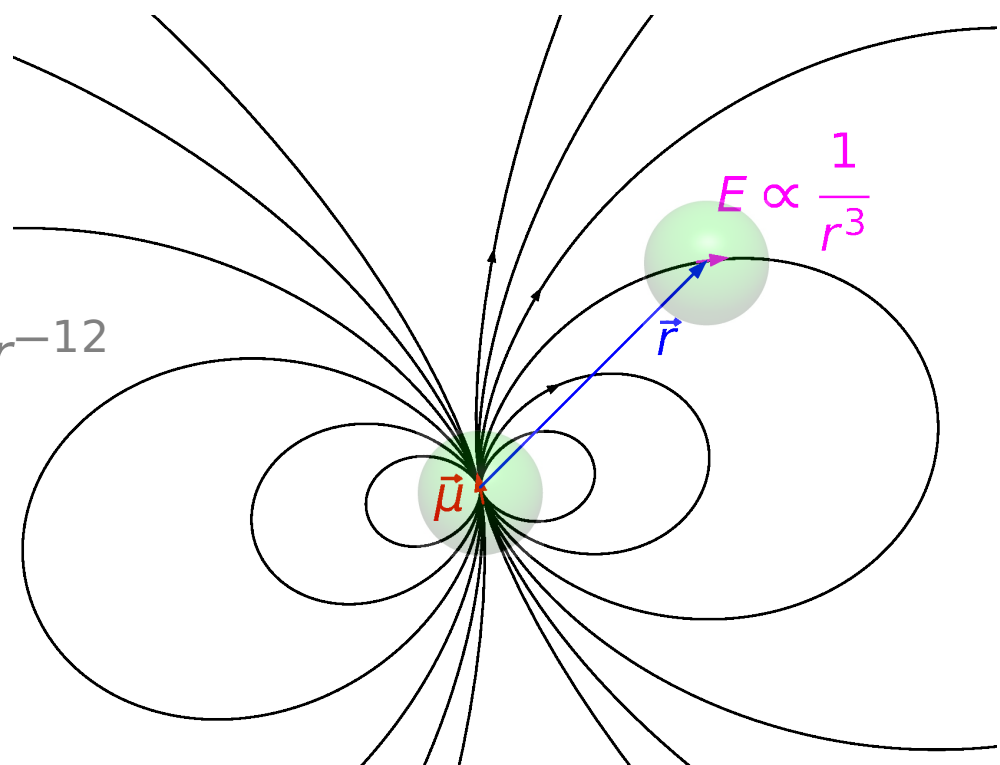
$$E \propto \frac{1}{r^3}, \quad \mu_{\text{ind}} \propto E, \quad u(r) \propto E\mu_{\text{ind}}$$

- Londonovy (disperzní) síly:  $u(r) \propto r^{-6}$  proto repulze  $\approx r^{-12}$

- méně přesně: pravoúhlá jáma (*square-well*)

- ještě méně přesně: dlouhodosahové pozadí

Tyto interakce působí mezi všemi atomy ve všech molekulách



# Modely interakce argon–argon

## Lennard-Jonesův potenciál

$$u(r) = 4\epsilon \left[ \left(\frac{\sigma}{r}\right)^{12} - \left(\frac{\sigma}{r}\right)^6 \right]$$



odpudivý člen



přitažlivý člen

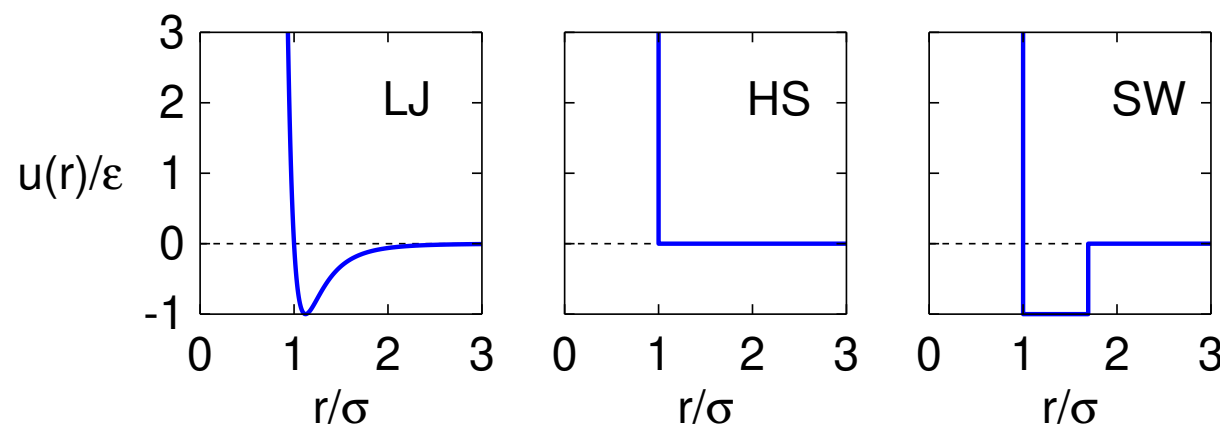
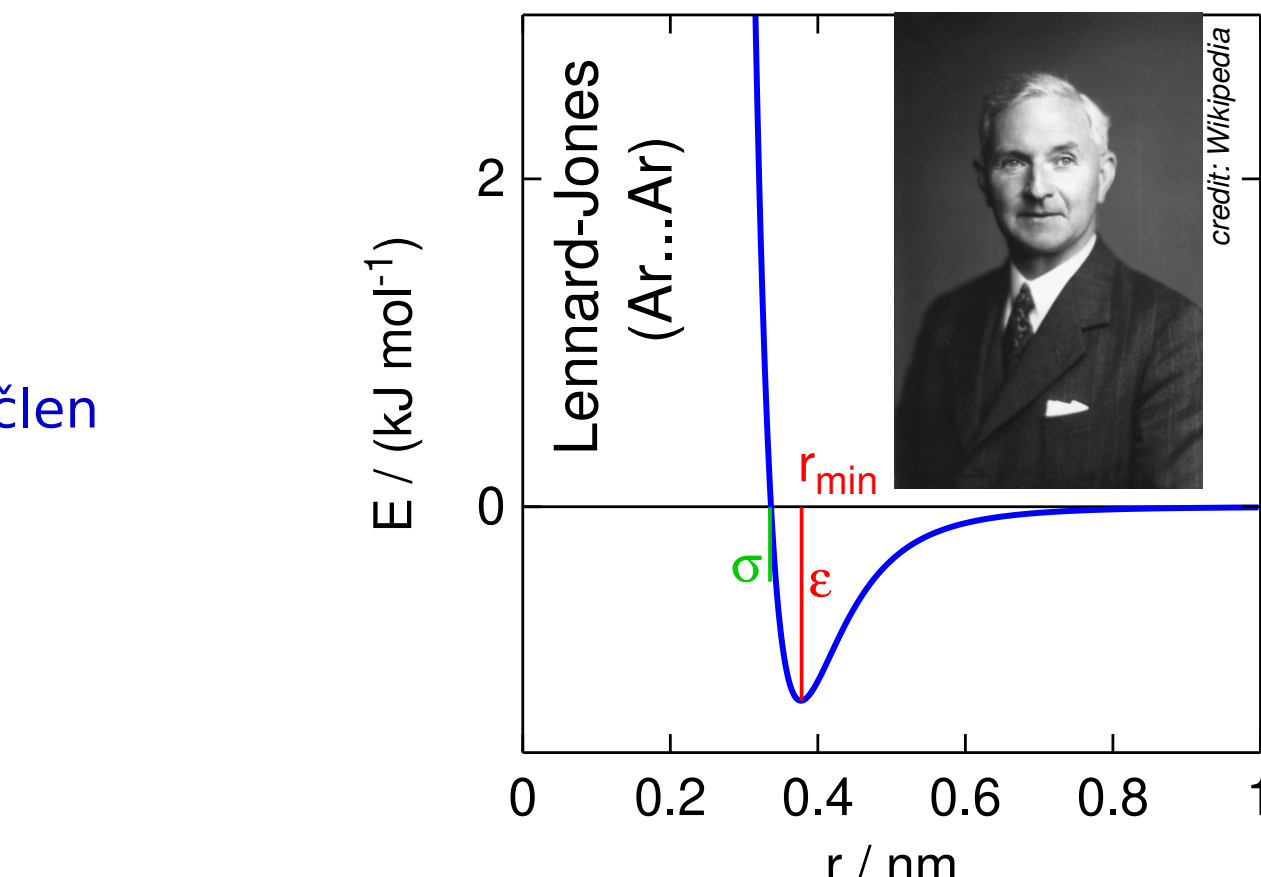
- $\epsilon$  = hloubka potenciálové jámy
- $\sigma$  = velikost atomu

## Tuhá koule + pravoúhlá jáma

*hard sphere + square well*

$$u(r) = \begin{cases} \infty & \text{pro } r < \sigma \\ -\epsilon & \text{pro } \sigma < r < \lambda\sigma \\ 0 & \text{pro } r > \lambda\sigma \end{cases}$$

kde  $\lambda > 1$



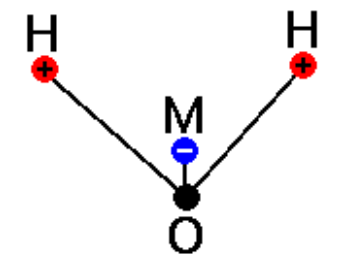
# Další síly mezi molekulami (a v molekulách)

## Elektrostatické síly

- ionty (a parciální náboje):  $u(r) \propto r^{-1}$
- náboj–dipól:  $u(r) \propto r^{-2}$  (závisí na úhlu)
- dipól–dipól:  $u(r) \propto r^{-3}$  (závisí na úhlu)
- dipól–indukovaný dipól:  $u(r) \propto r^{-6}$
- Londonovy (disperzní):  $u(r) \propto r^{-6}$
- rotující dipóly:  $u(r) \propto r^{-6}$

$$f = \frac{1}{4\pi\epsilon_0} \frac{q_1 q_2}{r^2}$$

$$u = \frac{1}{4\pi\epsilon_0} \frac{q_1 q_2}{r}$$



water TIP4P

Síly s potenciálem ubývajícím jako  $-C/r^6$  se v chemii zpravidla nazývají van der Waalsovy.

## Intramolekulární síly

- vibrace vazeb a úhlů, torze, ...

Když všechno vyjádříme vzorcem a sečteme, dostaneme **silové pole** (*force field*)

# Silové pole

Molekulový model či silové pole (force field) je matematický zápis energie molekuly nebo souboru molekul jako funkce souřadnic atomů,  $\vec{r}_i$ ,  $i = 1, \dots, N$ .

**malé:** tuhá tělesa – rotace

(voda 25 °C: vibruje 0.05 % molekul)

**velké:** mnoho členů

- vazebné síly:

- vibrace vazeb (1–2):  $U = K(r - r_0)^2$

Ize nahradit pevnou vazbou

- vibrace úhlů

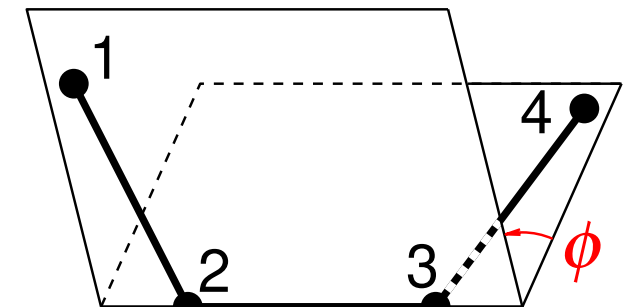
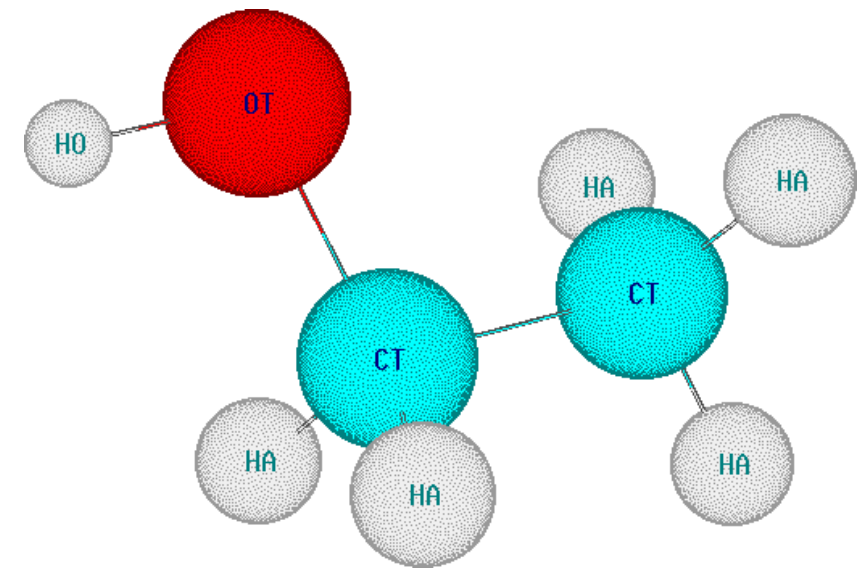
- torze (1–4) a torzní potenciál:  $\sum_n K_n \cos(n\phi)$

- “improper torsion” (drží >C=O v rovině)

- nevazebné síly (částečně 1–4, 1–dále):  
Lennard-Jones, náboje

**A všechny příspěvky sečteme** = approximace **párové aditivity**

Noo, ideálně přesná není, řekněme na 90 %



$\phi$  = diedrický úhel

- geometrie: spektroskopie, difrakce, kvantové výpočty
- vazebné síly: kvantové výpočty, spektroskopie
- Lennard-Jones  $\sigma$ : experimentální hustota, struktura (difrakce)
- Lennard-Jones  $\epsilon$ : výparná entalpie
- parciální náboje:
  - dipólové momenty: spektroskopie, permitivita
  - kvantové výpočty (Mulliken, CHELPG = CHarges from Electrostatic Potentials using a Grid based method)
- a/nebo: struktura klastrů (z kvantových výpočtů)

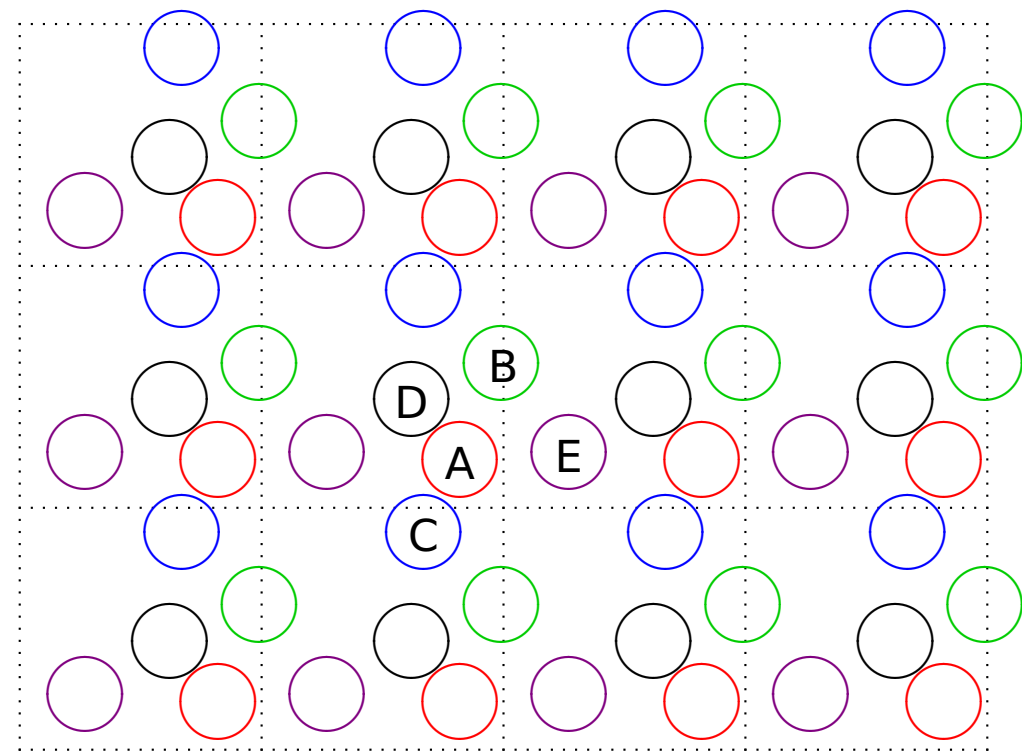
# Okrajové podmínky

- vakuové (kartézské, volné): kapka, protein ve vakuu, aj.

volný povrch nebo pevné stěny  $\Rightarrow$  velké povrchové jevy

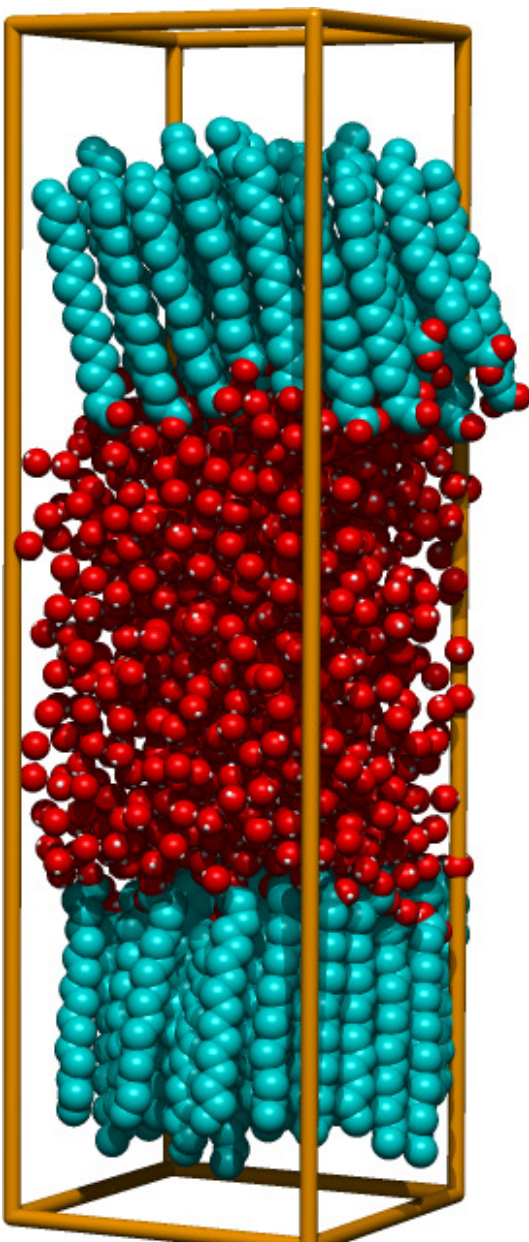
(1000 molekul v krychli  $10^3 \rightarrow 8^3 = 512$  je "uvnitř")

- „divná baňka“: periodické okrajové podmínky (též cyklické, toroidální)



- periodické jen v některých souřadnicích: póry, vrstva (slab), ...

Ted Chiang: *Tower of Babylon*



## Výpočty pro simulace

**Příklad.** Uprostřed periodické kubické simulační cely má být kapka z 1000 atomů kapalného argonu za teploty 85 K. Povrch kapky má být vzdálen od povrchu nejbližšího periodického obrazu o průměr kapky. Jak velký bude box? Uvedte v Å. Hustota argonu je  $1.4 \text{ g cm}^{-3}$ ,  $M = 40 \text{ g mol}^{-1}$ .

$$V_1 = \frac{M}{\rho N_A} = \frac{0.040 \text{ kg mol}^{-1}}{1400 \text{ kg m}^{-3} \times 6.022 \times 10^{23} \text{ mol}^{-1}}$$

$$= 4.74 \times 10^{-29} \text{ m}^3$$

$$\frac{4}{3}\pi r^3 = 1000V_1$$

$$r = \sqrt[3]{\frac{1000V_1}{\frac{4}{3}\pi}} = 2.245 \times 10^{-9} \text{ m}$$

$$L = 4r = 9.0 \times 10^{-9} \text{ m} = 9.0 \text{ nm} = \underline{90 \text{ \AA}}$$

